

การศึกษาสมบัติเชิงกลของวัสดุเชิงประดิษฐ์ระหว่างพอลิเอทิลีนและข้าวสาลี
หนาแน่นสูงและเส้นใยฟางข้าว

STUDY ON THE MECHANICAL PROPERTIES OF HIGH - DENSITY
POLYETHYLENE AND RICE STRAW FIBER COMPOSITE

นายปฐมพงศ์ เครื่อน้ำคำ รหัส 49364660

ห้องสมุดคณะวิศวกรรมศาสตร์
วันที่รับ..... ๑๘๘.๒๕๕๖ /
เลขทะเบียน..... ๑๖๓๙๒๕๕๔
เลขเรียกหนังสือ..... ๙๙
มหาวิทยาลัยแม่โจว ๔๑๐๒๙

๒๖๖

ปริญญานิพนธ์นี้เป็นส่วนหนึ่งของการศึกษาหลักสูตรปริญญาวิศวกรรมศาสตรบัณฑิต
สาขาวิชาชีวกรรมวัสดุ ภาควิชาชีวกรรมอุตสาหการ
คณะวิศวกรรมศาสตร์ มหาวิทยาลัยแม่โจว
ปีการศึกษา ๒๕๕๕



ใบรับรองปริญญาบัตร

ชื่อหัวข้อโครงการ	การศึกษาสมบัติเชิงกลของวัสดุเชิงประกอบระหว่างพอลิเอทิลีนชนิดความหนาแน่นสูง และเส้นใยไฟฟ้าข้าว
ผู้ดำเนินโครงการ	นายปฐมพงศ์ เครื่อน้ำคำ รหัส 49364660
ที่ปรึกษาโครงการ	อาจารย์ศิริกาญจน์ ขันสัมฤทธิ์
สาขาวิชา	วิศวกรรมวัสดุ
ภาควิชา	วิศวกรรมอุตสาหการ
ปีการศึกษา	2555

คณะวิศวกรรมศาสตร์ มหาวิทยาลัยนเรศวร อนุมัติให้ปริญญาบัตรฉบับนี้เป็นส่วนหนึ่งของการศึกษาตามหลักสูตรวิศวกรรมศาสตรบัณฑิต สาขาวิชาศิวกรรมวัสดุ

๑๗๓๗๖๗ ที่ปรึกษาโครงการ

(อาจารย์ศิริกาญจน์ ขันสัมฤทธิ์)

๗.๔๕/.....กรรมการ

(อาจารย์ทศพล ศรีจิราภพวงศ์)

.....กรรมการ

(อาจารย์กฤณา พูลสวัสดิ์)

.....กรรมการ

(อาจารย์ธนิกานต์ คงชัย)

ชื่อหัวข้อโครงการ	การศึกษาสมบัติเชิงกลของวัสดุเชิงประดิษฐ์ระหว่างพอลิเอทิลีนชนิดความหนาแน่นสูง และเส้นใยฟางข้าว
ผู้ดำเนินโครงการ	นายปฐมพงศ์ เครื่อน้ำคำ รหัส 49364660
ที่ปรึกษาโครงการ	อาจารย์ศิริกาญจน์ ขันสัมฤทธิ์
สาขาวิชา	วิศวกรรมวัสดุ
ภาควิชา	วิศวกรรมอุตสาหการ
ปีการศึกษา	2555

บทคัดย่อ

โครงการนี้เป็นการศึกษาสมบัติเชิงกลด้านแรงดึง (Tensile Test) และความโค้งงอ (Flexural Test) ของวัสดุเชิงประดิษฐ์ระหว่างพอลิเอทิลีนชนิดความหนาแน่นสูง (High – Density Polyethylene : HDPE) และเส้นใยฟางข้าวที่ปริมาณ 0, 10, 20, 30 และ 40 เปอร์เซ็นต์โดยน้ำหนักของพอลิเอทิลีนชนิดความหนาแน่นสูง จากการศึกษาพบว่าเมื่อปริมาณเส้นใยฟางข้าวเพิ่มขึ้นส่งผลให้สมบัติด้านมอดูลัสความยืดหยุ่น ความแข็งแรงโค้งงอและค่ามอดูลัสโค้งงอ มีแนวโน้มเพิ่มขึ้น นอกจากนี้มีการเพิ่มปริมาณฟางข้าวจะส่งผลให้ความแข็งแรงดึง และร้อยละการดึงยืด ณ จุดขาดมีแนวโน้มลดลง

กิตติกรรมประกาศ

โครงการนี้สำเร็จลุล่วงไปได้ด้วยความกรุณาอย่างยิ่งจาก อาจารย์ศิริกาญจน์ ขันสัมฤทธิ์ อาจารย์ที่ปรึกษาโครงการ ใน การให้ความรู้ คำปรึกษาและข้อแนะนำเกี่ยวกับการค้นหาข้อมูล และแนวทางการวิเคราะห์ต่างๆ ตลอดจนสละเวลาให้คำแนะนำทั้งภาคทฤษฎีและภาคปฏิบัติ คณะผู้จัดทำรู้สึกซาบซึ้งในความอนุเคราะห์ที่ดีเยี่ยม และขอกราบขอบพระคุณอย่างสูงยิ่ง

ขอกราบขอบพระคุณอาจารย์ทศพล ตรีจิราภพวงศ์ อาจารย์กฤษณา พูลสวัสดิ์ และ อาจารย์ธนิกานต์ รงชัย ที่กรุณาสละเวลา เป็นอาจารย์สอนโครงการพร้อมทั้งให้คำแนะนำที่เป็นประโยชน์ และข้อเสนอแนะในการปรับปรุงแก้ไขผลงานนี้

ครุช่างประเทือง โนราราย ครุช่างรังษัย ชลบุตร ครุช่างรณกฤต แสงผ่อง นักวิทยาศาสตร์ อิสเรียร์ วัตถุภาพ ที่เคยอื้อเฟื้อสถานที่และอุปกรณ์ในการทำโครงการ อีกทั้งยังคงอยแนะนำการใช้ อุปกรณ์ และเครื่องมือต่างๆ อย่างถูกต้องอีกด้วย

ขอบขอบพระคุณภาควิชาวิศวกรรมอุตสาหการ คณะวิศวกรรมศาสตร์ มหาวิทยาลัยนเรศวร ที่ประสิทธิ์ประสานวิชาความรู้ และอบรมสั่งสอนให้คณะผู้จัดทำเป็นคนดีของสังคม

ขอบขอบพระคุณเพื่อนทุกคนที่เคยช่วยเหลือ ให้กำลังใจ และให้คำปรึกษาในการทำโครงการ นี้สำเร็จลุล่วงได้เป็นอย่างดี

ขอบขอบพระคุณ คุณพ่อ คุณแม่ ผู้ให้กำเนิด และทำให้คณะผู้จัดทำมีวันนี้

คุณค่า และประโยชน์อันพิเศษจากการงานนี้ ทางผู้จัดทำขอขอบแด่ผู้มีพระคุณทุกท่านไว้ ณ โอกาสนี้

คณะผู้ดำเนินโครงการวิศวกรรม

นายปฐุมพงศ์ เครื่อน้ำคำ

พฤษภาคม 2556

สารบัญ

	หน้า
ใบรับรองปริญานินพนธ์.....	ก
บทคัดย่อ.....	ข
กิตติกรรมประกาศ.....	ค
สารบัญ.....	ง
สารบัญตาราง.....	ด
สารบัญรูป.....	ช
บทที่ 1 บทนำ.....	1
1.1 ความเป็นมา และความสำคัญของโครงการ.....	1
1.2 วัตถุประสงค์ของโครงการ.....	1
1.3 เกณฑ์ชี้วัดผลงาน (Output).....	1
1.4 เกณฑ์ชี้วัดผลสำเร็จ (Outcome).....	2
1.5 ขอบเขตในการดำเนินโครงการ.....	2
1.6 สถานที่ในการดำเนินโครงการ.....	3
1.7 ระยะเวลาในการดำเนินโครงการ.....	3
1.8 ขั้นตอนและแผนการดำเนินการ (Gantt Chart).....	3
บทที่ 2 หลักการ และทฤษฎีเบื้องต้น.....	4
2.1 วัสดุเชิงประกอบ (Composite Materials).....	4
2.2 พอลิเอทิลีนชนิดความหนาแน่นสูง (High-Density Polyethylene: HDPE).....	8
2.3 เส้นใยธรรมชาติ.....	9
2.4 กระบวนการผลิต.....	14
2.5 วิธีการทดสอบ.....	16
บทที่ 3 วิธีดำเนินโครงการ.....	21
3.1 สารเคมี และวัสดุที่ใช้ในโครงการ.....	21
3.2 เครื่องมือที่ใช้ในโครงการ.....	22
3.3 วิธีการทดลอง.....	23
3.4 วิธีการทดสอบ.....	24

สารบัญ (ต่อ)

หน้า

บทที่ 4 ผลการทดลองและวิเคราะห์ผล.....	25
4.1 ผลการศึกษาสมบัติเชิงกลด้านแรงดึงของวัสดุเชิงประกอบ ระหว่างพอลิเอทิลีนชนิดความหนาแน่นสูง และเส้นใยฟางข้าวที่ปริมาณต่าง ๆ	25
4.2 ผลการศึกษาสมบัติเชิงกลด้านความโค้งงอของวัสดุเชิงประกอบ ระหว่างพอลิเอทิลีนชนิดความหนาแน่นสูง และเส้นใยฟางข้าวที่ปริมาณต่างๆ	29
บทที่ 5 สรุปผลงานวิจัยและข้อเสนอแนะ.....	31
5.1 สรุปผลงานวิจัย.....	31
5.2 ข้อเสนอแนะ.....	31
5.3 ปัญหาที่พบ และแนวทางแก้ไข.....	31
เอกสารอ้างอิง.....	32
ภาคผนวก ก.....	33
ภาคผนวก ข.....	44

สารบัญตาราง

ตารางที่	หน้า
1.1 สภาวะการผสมโดยใช้เครื่องอัดรีดแบบเกลียวหนอนเดียว (Single Screw Extruder).....	2
1.2 อุณหภูมิในการขึ้นรูปโดยการฉีดขึ้นรูป (Injection Molding).....	2
1.3 ขั้นตอน และแผนการดำเนินการ (Gantt Chart).....	3
2.1 ข้อดี และข้อเสียของวัสดุเชิงประกอบ.....	4
2.2 องค์ประกอบทางเคมีของฟางข้าว.....	13
3.1 พอลิเอทิลีนชนิดความหนาแน่นสูง เกรด H5818J.....	21
3.2 อัตราส่วนระหว่างพอลิเอทิลีนชนิดความหนาแน่นสูงกับเส้นใยฟางข้าว.....	23



สารบัญรูป

รูปที่		หน้า
2.1	ลักษณะสายโซ่ไม่เลกูลของเทอร์โมเซท (Thermoset).....	5
2.2	ลักษณะสายโซ่ไม่เลกูลของเทอร์โมพลาสติกแบบไม่มีผลึก.....	6
2.3	ลักษณะสายโซ่ไม่เลกูลของเทอร์โมพลาสติกแบบมีผลึกบางส่วน.....	6
2.4	ตัวอย่างวัสดุเชิงประภوبที่มีส่วนเสริมแรงต่างกัน.....	7
2.5	โครงสร้างทางเคมีของพอลิเอทิลีน.....	8
2.6	โครงสร้างพอลิเอทิลีนแบบต่างๆ.....	8
2.7	ตัวอย่างภาษชนะพลาสติกที่ทำจากพอลิเอทิลีนชนิดความหนาแน่นสูง.....	9
2.8	โครงสร้างทางเคมีของเซลลูโลส.....	9
2.9	ลักษณะการจัดเรียงตัวของเส้นใยเซลลูโลส.....	10
2.10	โครงสร้างทางเคมีของเยมิเซลลูโลส.....	11
2.11	โครงสร้างทางเคมีของลิกนิน.....	11
2.12	การจัดเรียงตัวของเซลลูโลส เยมิเซลลูโลส และลิกนินในไม้.....	12
2.13	ฟางข้าว.....	12
2.14	ผลิตภัณฑ์ทำมาจากการฟางข้าว.....	13
2.15	เครื่องอัดรีดแบบสกรูเดียว (Single Screw Extruder).....	14
2.16	เครื่องผสมแบบสองลูกกลิ้ง (Two-Roll Mill).....	15
2.17	เครื่องฉีดขึ้นรูป (Injection Molding).....	16
2.18	การทดสอบความแข็งแรงดึง (Tensile Test).....	17
2.19	กราฟความเด่น - ความเครียด.....	18
2.20	การทดสอบ Three Point Bending.....	19
3.1	แผนภาพการดำเนินงาน.....	22
3.2	เครื่องทดสอบแรงดึง (Universal Tester).....	24
3.3	ชิ้นงานที่ทดสอบความแข็งแรงดึงตามมาตรฐาน ASTM D638.....	24
3.4	การทดสอบความโค้งงอ และมอตูลส์โค้งตามมาตรฐาน ASTM D790.....	25
4.1	ความสัมพันธ์ระหว่างสมบัติความแข็งแรงดึงของวัสดุเชิงประภوبจากพอลิเอทิลีน ชนิดความหนาแน่นสูง และเส้นใยฟางข้าวที่ปริมาณต่าง ๆ.....	26
4.2	ความสัมพันธ์ระหว่างสมบัติมอตูลส์ยืดหยุ่นของวัสดุเชิงประภوبจากพอลิเอทิลีน ชนิดความหนาแน่นสูง และเส้นใยฟางข้าวที่ปริมาณต่าง ๆ.....	27

สารบัญรูป (ต่อ)

รูปที่	หน้า
4.3 ความสัมพันธ์ระหว่างสมบัติร้อยละการดึงยึด ณ จุดขาดของวัสดุเชิงประกอบ จากพอลิทีลีนชนิดความหนาแน่นสูง และเส้นใยฟางข้าวที่ปริมาณต่าง ๆ.....	28
4.4 ความสัมพันธ์ระหว่างสมบัติด้านความแข็งแรงคงของวัสดุเชิงประกอบจาก พอลิเอทิลีนชนิดความหนาแน่นสูง และเส้นใยฟางข้าวที่ปริมาณต่าง ๆ.....	29
4.5 ความสัมพันธ์ระหว่างสมบัติด้านมอคูลัสคงของวัสดุเชิงประกอบ จากพอลิเอทิลีนชนิดความหนาแน่นสูง และเส้นใยฟางข้าวที่ปริมาณต่าง ๆ.....	30



บทที่ 1

บทนำ

1.1 ความเป็นมา และความสำคัญของโครงการ

เนื่องจากการเพิ่มขึ้นของประชากรโลกและความเจริญเติบโตทางเศรษฐกิจ เป็นผลให้ความต้องการผลิตภัณฑ์ที่ใช้มีเป็นวัตถุคิดเพิ่มขึ้น ส่งผลให้ทรัพยากรป่าไม้ที่มีจำนวนลดลงอย่างต่อเนื่อง จึงได้มีการผลิตวัสดุอื่นเพื่อใช้ทดแทนไม้ โดยมีการนำเอาเศษวัสดุเหลือทิ้งจากการเกษตรมาทำให้มีคุณค่าเป็นวัสดุทดแทนไม้ธรรมชาติหรือผลิตภัณฑ์ในรูปแบบต่าง ๆ

พางข้าวจัดเป็นวัสดุเหลือใช้ทางการเกษตรที่ปราศจากคุณค่า ในปัจจุบันนี้ยังคงมีความสนใจในการนำเส้นใยเซลลูโลสจากธรรมชาตินามาเสริมแรงพลาสติก เพราะมีความปลอดภัยต่อสิ่งมีชีวิต ย่อยสลายได้ทางชีวภาพ และราคาถูก การใช้ประโยชน์จากพางข้าวเพื่อทดแทนไม้ ยังมีการพัฒนาพางข้าวมาใช้เป็นวัตถุคิดในการผลิตแผ่นประกอบชีวภาพ คล้ายคลึงกับแผ่นไม้ประกอบ เช่น แผ่นขี้นไม้อัด แผ่นไนโอม้อด และแผ่นไม้อัดสารเรร์ เป็นต้น โดยแผ่นประกอบชีวภาพนั้น สามารถนำมาผลิตเป็นเครื่องเรือนเครื่องไม้ในครัวเรือนต่าง ๆ ทัดแทนไม้จริงตามธรรมชาติ ตลอดจนการศึกษาพัฒนาการผลิตแผ่นพลาสติกเสริมแรงด้วยพางข้าว เพื่อเป็นวัสดุพอลิเมอร์ชนิดใหม่ ซึ่งขณะนี้ยังอยู่ระหว่างการศึกษาการเตรียมวัสดุเชิงประกอบจากพอลิเมอร์และเส้นใยพางข้าว เพื่อใช้งานเป็นวัสดุใหม่ เที่ยม (กรกฎาคม 2555)

ดังนั้นในโครงการนี้งานจะเป็นการศึกษาสมบัติเชิงกลของวัสดุเชิงประกอบที่เตรียมได้จากพอลิเอทธิลีนชนิดความหนาแน่นสูงและเส้นใยพางข้าว โดยจะใช้พอลิเอทธิลีนชนิดความหนาแน่นสูงเป็นสารพื้นที่กับวัสดุเชิงประกอบเนื่องจากเป็นพลาสติกประเภทหนึ่งที่นิยมนิยมนำมาใช้ในการผลิตเป็นผลิตภัณฑ์ประเภทต่าง ๆ และใช้พางข้าวเป็นส่วนเสริมแรง ซึ่งเป็นวัสดุเหลือทิ้งจากการเกษตรโดยในการศึกษาจะศึกษาด้านปัจจัยของปริมาณเส้นใยพางข้าวที่มีผลต่อสมบัติเชิงกลของวัสดุเชิงประกอบที่เตรียมได้

1.2 วัตถุประสงค์ของโครงการ

เพื่อศึกษาสมบัติเชิงกลด้านแรงดึง (Tensile Test) และความโค้งงอ (Flexural Test) ของวัสดุเชิงประกอบจากพอลิเอทธิลีนชนิดความหนาแน่นสูงและเส้นใยพางข้าวที่ปริมาณต่าง ๆ

1.3 เกณฑ์วัดผลงาน (Output)

วัสดุเชิงประกอบจากพอลิเอทธิลีนชนิดความหนาแน่นสูง และเส้นใยพางข้าวที่ปริมาณ 0, 10, 20, 30 และ 40 เปอร์เซ็นต์โดยน้ำหนักของพอลิเอทธิลีนชนิดความหนาแน่นสูง

1.4 เกณฑ์วัดผลสำเร็จ (Outcome)

สมบัติเชิงกลด้านแรงดึง (Tensile Test) และความโค้งงอ (Flexural Test) ของวัสดุเชิง - ประกอบจากพอลิเอทิลีนชนิดความหนาแน่นสูงและเส้นใยไฟฟางข้าวที่ปริมาณ 0, 10, 20, 30 และ 40 เปอร์เซ็นต์โดยน้ำหนักของพอลิเอทิลีนชนิดความหนาแน่นสูง

1.5 ขอบเขตในการดำเนินโครงการ

1.5.1 ตัวแปรควบคุม

1.5.1.1 วัตถุดิบ

ก. พอลิเอทิลีนชนิดความหนาแน่นสูง (High – Density Polyethylene : HDPE)

เกรด H5818J

ข. เส้นใยไฟฟางข้าวขนาด 40-50 เมช

1.5.1.2 กระบวนการผลิต

ก. ผสานวัตถุดิบโดยใช้เครื่องอัดรีดแบบเกลียวหนอนเดียว (Single Screw - Extruder) โดยใช้สภาวะการผสานตามตารางที่ 1.1 โดยใช้ความเร็วรอบ 60 รอบต่อนาทีและผสานโดยใช้เครื่องผสานแบบ 2 ลูกกลิ้ง (Two-Roll Mill) โดยใช้อุณหภูมิ 165 องศาเซลเซียสใช้เวลาในการผสาน 10 นาที

ตารางที่ 1.1 สภาวะการผสานโดยใช้เครื่องอัดรีดแบบเกลียวหนอนเดียว (Single Screw Extruder)

ช่วงของการผสาน	อุณหภูมิ (°C)
Feed Zone	180
Compression Zone	190
Metering Zone	200
Die Zone	200

ที่มา : www.matweb.com (2555)

ข. ขึ้นรูปโดยใช้เครื่องฉีดขึ้นรูป (Injection Molding) โดยใช้สภาวะการฉีดขึ้นรูปตามตารางที่ 1.2

ตารางที่ 1.2 สภาวะการฉีดขึ้นรูปโดยใช้เครื่องฉีดขึ้นรูป (Injection Molding)

ช่วงของการผสาน	อุณหภูมิ (°C)
Feed Zone	200
Compression Zone	210
Metering Zone	220
Nozzle Zone	210

ที่มา : www.matweb.com (2555)

1.5.2 ตัวแปรศึกษา

1.5.2.1 ผลของปริมาณเส้นใยพางข้าวที่ใช้ในการเตรียมวัสดุเชิงประกลบที่ปริมาณ 0, 10, 20, 30 และ 40 เปอร์เซ็นต์โดยน้ำหนักของพอลิเอทิลีนชนิดความหนาแน่นสูง

1.5.2.2 ศึกษาสมบัติเชิงกลด้านแรงดึง (Tensile Test) และความโค้งงอ (Flexural Test) ของวัสดุเชิงประกลบที่เตรียมได้

1.6 สถานที่ในการดำเนินโครงการ

1.6.1 สำนักหอสมุดมหาวิทยาลัยนเรศวร

1.6.2 อาคารปฏิบัติการวิศวกรรมอุตสาหการ คณะวิศวกรรมศาสตร์ มหาวิทยาลัยนเรศวร

1.7 ระยะเวลาในการดำเนินโครงการ

เดือนกรกฎาคม 2555 – เดือนมีนาคม 2556

1.8 ขั้นตอน และแผนการดำเนินการ (Gantt Chart)

ตารางที่ 1.3 ขั้นตอน และแผนการดำเนินการ (Gantt Chart)

ลำดับ	การดำเนินงาน	พ.ศ. 2555						พ.ศ. 2556		
		ก.ค.	ส.ค.	ก.ย.	ต.ค.	พ.ย.	ธ.ค.	ม.ค.	ก.พ.	มี.ค.
1.8.1	จัดทำข้อเสนอโครงการ	↔								
1.8.2	ศึกษาหาข้อมูลเกี่ยวกับ พอลิเมอร์	↔	↔	↔						
1.8.3	ทำการเขียนรูปขั้นตอน			↔	↔					
1.8.4	ทดสอบคุณสมบัติ เชิงกลและปัจจัยที่มี อิทธิพลต่อสมบัติต่างๆ				↔	↔				
1.8.5	วิเคราะห์ผลการ ทดลอง					↔	↔			
1.8.6	สรุปผลการทดลองและ ทำรายงานการวิจัย							↔	↔	

บทที่ 2

หลักการและทฤษฎีเบื้องต้น

2.1 วัสดุเชิงประกอบ (Composite Materials)

วัสดุเชิงประกอบ (Composite Materials) หมายถึงวัสดุที่ประกอบด้วยส่วนประกอบสองส่วน (หรือมากกว่า) ที่แตกต่างกันอย่างชัดเจน (Distinct Component) เมื่อผสมเป็นวัสดุเชิงประกอบแล้ว จะมีความแข็งแรงมากกว่า วัสดุเชิงประกอบเป็นวัสดุที่ได้รับความนิยมและมีการใช้งานกันอย่างมาก เนื่องจากวัสดุเชิงประกอบมีสมบัติที่ดีหลายอย่าง จึงมีการนำมาระบุกใช้ในทางด้านวิศวกรรม โดยใช้เป็นวัสดุวิศวกรรม (Engineering Materials) เนื่องจากมีวัสดุเชิงประกอบหลายชนิดและหลายรูปแบบจึงสามารถเลือกใช้ ออกแบบและสร้างวัสดุให้เหมาะสมกับการใช้งานต่าง ๆ จึงทำให้มีการประยุกต์ใช้วัสดุเชิงประกอบอย่างกว้างขวาง จะเห็นได้ว่าวัสดุเชิงประกอบมีมากหลายชนิด และมีสมบัติเด่นหลายประการ นอกเหนือนี้ยังสามารถออกแบบโครงสร้างของวัสดุเชิงประกอบให้เหมาะสมกับการใช้งานต่าง ๆ ซึ่งข้อดีและข้อเสียของวัสดุเชิงประกอบแสดงดังตารางที่ 2.1

การจำแนกประเภทของวัสดุเชิงประกอบสามารถแบ่งได้หลายประเภทขึ้นอยู่กับการใช้หลักเกณฑ์ที่แตกต่างกัน ตัวอย่างการจำแนกประเภทของวัสดุเชิงประกอบที่นิยมใช้คือแบ่งตามประเภทของเนื้อพื้น (Matrix) ได้ 3 ประเภท คือ วัสดุเชิงประกอบที่มีพอลิเมอร์เป็นส่วนผสมหลัก (Polymer Matrix Composites, PMCs) เป็นวัสดุเชิงประกอบที่ใช้พอลิเมอร์เป็นเนื้อพื้น และใช้งานกันอย่างแพร่หลายในชีวิตประจำวัน วัสดุเชิงประกอบที่ใช้โลหะเป็นส่วนผสมหลัก (Metal Matrix-Composites, MMCs) เป็นวัสดุเชิงประกอบที่ใช้โลหะเป็นเนื้อพื้น นำมาใช้งานมากในส่วนประกอบของชิ้นส่วนรถยนต์ และวัสดุเชิงประกอบที่ใช้เซรามิกเป็นส่วนผสมหลัก (Ceramic Matrix-Composites CMCs) วัสดุเชิงประกอบที่ใช้เซรามิกเป็นเนื้อพื้น และสามารถทนความร้อนได้สูง (อิทธิพล, 2544)

ตารางที่ 2.1 ข้อดี และข้อเสียของวัสดุเชิงประกอบ

ข้อดี	ข้อเสีย
1. มีสมบัติต่อน้ำหนักสูง เช่น ความแข็งแรง จำเพาะ เนื่องจากวัสดุเชิงประกอบมีความหนาแน่นต่ำ น้ำหนักเบา	1. ต้นทุนการผลิตสูงเนื่องจากราคาของวัตถุดิบ และเครื่องมือการขึ้นรูปวัสดุเชิงประกอบ
2. ช่วยลดน้ำหนักของวัสดุ	2. มักมีสมบัติแต่ละทิศทางไม่เท่ากันหรือมีสมบัติแอนิโซโทปี (Anisotropy) เนื่องจากมีการจัดเรียงตัว (Orientation) ของส่วนเสริมแรง
3. มีสมบัติหลากหลาย	3. ยากในการต่อ (Attaching) หรือเชื่อมติดของวัสดุอื่น
4. มีอายุการใช้งานยาวนาน ต้านการสึกกร่อนดี	4. ยากในการตรวจวิเคราะห์สมบัติของวัสดุเชิงประกอบ

ตารางที่ 2.1 (ต่อ) ข้อตี และข้อเสียของวัสดุเชิงประกอบ

ข้อตี	ข้อเสีย
5. สมบัติการรับแรงที่ดี	5. ยากในการทำลาย และนำกลับมาใช้
6. ทนทานต่อการล้าดี	
7. มีเสถียรภาพทางรูปร่างสูง เนื่องจากมีสัมประสิทธิ์การขยายตัวทางความร้อนต่ำเมื่อเทียบกับวัสดุอื่น เช่น โลหะ	

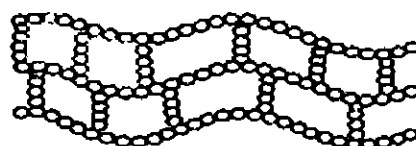
ที่มา : อิทธิพล (2544)

2.1.1 เนื้อพื้น (Matrix)

เนื้อพื้น (Matrix) เป็นองค์ประกอบหลักที่มีความต่อเนื่องที่ยึดส่วนเสริมแรงเข้าด้วยกัน ทำให้ ส่วนเสริมแรงอยู่ในตำแหน่ง และการเรียงตัวที่กำหนดโดยเนื้อพื้นจะล้อมรอบ และปกป้องส่วนเสริมแรงจากการเสียสภาพจากสิ่งแวดล้อม เช่น อุณหภูมิ ความชื้น เนื้อพื้นมักเป็นส่วนที่มีความแข็งแรงและมอดูลัสน้อยกว่าน้อยกว่าส่วนเสริมแรง เนื้อพื้นมีหน้าที่ต่าง ๆ ได้แก่ (อิทธิพล, 2554) ทำหน้าที่ถ่ายเทความเค้น (Stresses Transfer) ที่ได้รับไปยังเส้นใยเสริมแรงและถ่ายเทความเค้นระหว่างเส้นใย ทำหน้าที่เป็นเกราะป้องกัน (Barrier) กับสภาวะแวดล้อมใด ๆ ป้องกันเส้นใยจากการขัดขูเสียดสี (Abrasion) พอลิเมอร์เนื้อพื้นที่ใช้โดยทั่วไปแบ่งได้เป็น 2 ประเภทคือ

2.1.1.1 เทอร์โมเซต (Thermoset)

พอลิเมอร์กลุ่มนี้มีอ่อนต้านกรรมวิธีการผลิตจะมีรูปทรงดาวร ผลิตผลที่ได้นำกลับไปหลอมอีกไม่ได้ เพราะว่าก่อนผ่านกระบวนการเตรียมโครงสร้างของพอลิเมอร์ยังไม่เป็นร่างแทแต่เมื่อผ่านกระบวนการให้ความร้อน หรือความดันเข้าไปจะมีการเปลี่ยนแปลงทางเคมีในโครงสร้างเกิดการเชื่อมโยง (Cross Linking) ระหว่างสายโซ่โนเลกุลทำให้มีลักษณะเป็นระบบสามมิติ แสดงดังรูปที่ 2.1 และมีการสร้างพันธะโค瓦เลนต์ระหว่างสายโซ่โนเลกุล ทำให้ผลิตผลที่ได้มีความคงทนไม่หลอมละลาย การเกิดการเชื่อมโยงทำให้พอลิเมอร์แข็งตัว มีความแข็งแรงสูง มีความต้านทานการละลาย มีเสถียรภาพทางความร้อน และความต้านทานการเกิดออกซิเดชันได้ดี สมบัติเหล่านี้สัมพันธ์โดยตรงกับความหนาแน่นของการเกิดการเชื่อมโยงและน้ำหนักโนเลกุลของสายโซ่ระหว่างการเชื่อมโยง เทอร์โมเซตที่ใช้เป็นเมทริกซ์ส่วนใหญ่ ได้แก่ อีพอกซี พอลิอีสเทอร์ และไวนิลอีสเทอร์ เป็นต้น (มาลินี, 2543)



รูปที่ 2.1 ลักษณะสายโซ่โนเลกุลของเทอร์โมเซต (Thermoset)

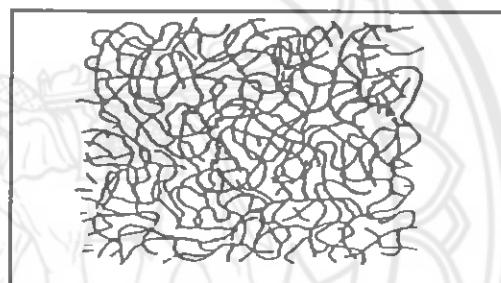
ที่มา : มาลินี (2543)

2.1.1.2 เทอร์โมพลาสติก (Thermoplastic)

เทอร์โมพลาสติกจะละลายได้ดีในตัวทำละลายบางชนิด แต่เมื่อถูกความร้อนสามารถหลอมตัวได้ และมีสมบัติเมื่อยืดง็จะแข็งตัวสามารถทำให้หลอม และแข็งตัวได้ในหลาย ๆ ครั้ง โดยไม่ทำให้สมบัติทางเคมีเปลี่ยนแปลงไป ซึ่งสมบัติของเทอร์โมพลาสติกจะขึ้นอยู่กับอัตราการเกิดผลึกสัณฐานวิทยา และการจัดเรียงตัวของผลึก (มาลินี, 2543) สามารถแบ่งได้เป็น 2 กลุ่ม คือ กลุ่มเทอร์โมพลาสติกอสัณฐาน (Amorphous Thermoplastic) และกลุ่มเทอร์โมพลาสติกที่มีผลึกในบางส่วน (Semi-Crystalline Thermoplastic)

ก. กลุ่มเทอร์โมพลาสติกอสัณฐาน (Amorphous Thermoplastic)

ประกอบด้วยสายโซ่ไม่เกลูลเรียงตัวกันอย่างไม่เป็นระเบียบ ซึ่งสายโซ่ไม่เกลูลจะอยู่ห่างกัน แสดงดังรูปที่ 2.2 ทำให้พลาสติกชนิดนี้มีความแข็งแรงน้อย ทนความร้อนได้ต่ำ เปลี่ยนแปลงขนาดได้น้อย และมีความใส เช่น พอลิไวนิลคลอไรด์ พอลิสไตรีน และพอลิคาร์บอเนต เป็นต้น



รูปที่ 2.2 ลักษณะสายโซ่ไม่เกลูลของเทอร์โมพลาสติกแบบอสัณฐาน

ที่มา : มาลินี (2543)

ข. กลุ่มเทอร์โมพลาสติกแบบมีผลึกบางส่วน (Semi-Crystalline Thermoplastic)

จะมีสายโซ่ไม่เกลูลบางส่วนที่มีการเรียงตัวอย่างเป็นระเบียบ แสดงดังรูปที่ 2.3 เรียกว่า ส่วนที่เป็นผลึก จึงทำให้พลาสติกชนิดนี้ มีความแข็งแรง ทนต่อสารเคมี น้ำมัน และความร้อนได้มากกว่า แต่มักจะ笨 และทึบแสง



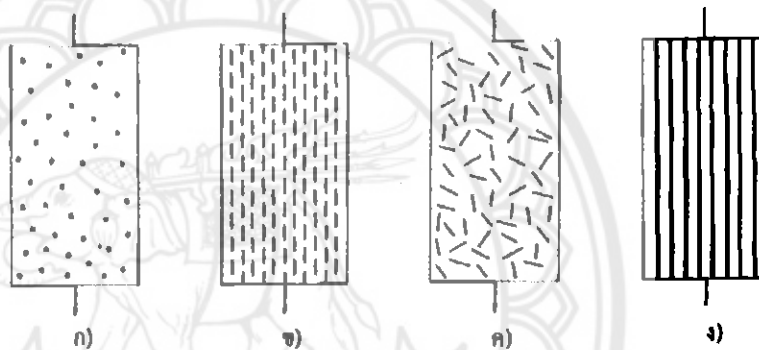
รูปที่ 2.3 ลักษณะสายโซ่ไม่เกลูลของเทอร์โมพลาสติกแบบมีผลึกบางส่วน

ที่มา : มาลินี (2543)

ชีงในโครงงานวิจัยนี้เลือกใช้พอลิเมอร์ ประเภทเทอร์โมพลาสติกโดยใช้พอลิเมอร์ชนิด พอลิเอทิลีนชนิดความหนาแน่นสูงใช้เป็นเนื้อพื้น

2.1.2 ส่วนเสริมแรง (Reinforcement)

ส่วนเสริมแรง (Reinforcement) เป็นส่วนประกอบที่ให้ความแข็งแรงแก้วัสดุเชิง - ประกอบ วัสดุที่จะเป็นส่วนเสริมแรงนั้นมีความแข็งแรง และมอดูลัสสูง มีลักษณะรูปร่างได้หลาย แบบอาจเป็นแผ่น เส้นใย หรืออนุภาคเล็ก ๆ ส่วนเสริมแรงที่นิยมใช้ลักษณะเป็นเส้นใย (Fibers) อาจ เป็นเส้นใยยาวต่อเนื่อง (Continuous Fibers) หรือเส้นใยสั้น (Discontinuous Fibers) นอกจากนี้ อาจเป็นเส้นใยที่พันกันหรืออยู่ในรูปของเส้นใยที่ผ่านการถัก (Knitting) หรือการทอ (Weaving) มาแล้วทำให้ วัสดุเชิงประกอบ มีโครงสร้างและมีการจัดเรียงตัวของส่วนเสริมแรงหลายรูปแบบ แสดง ดังรูปที่ 2.4



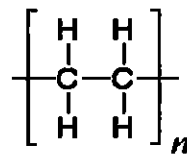
รูปที่ 2.4 ตัวอย่างวัสดุเชิงประกอบที่มีส่วนเสริมแรงต่างกัน

- ก) ส่วนเสริมแรงเป็นอนุภาคจัดเรียงตัวแบบสุ่ม
- ข) ส่วนเสริมแรงเป็นเส้นใยสั้นจัดเรียงตัวในทิศทางเดียวกัน
- ค) ส่วนเสริมแรงเป็นเส้นใยสั้นจัดเรียงตัวแบบสุ่ม
- ง) ส่วนเสริมแรงเป็นเส้นใยยาวจัดเรียงตัวในทิศทางเดียวกัน

ที่มา : มาลินี (2543)

2.2 พอลิเอทิลีนชนิดความหนาแน่นสูง (High – Density Polyethylene : HDPE)

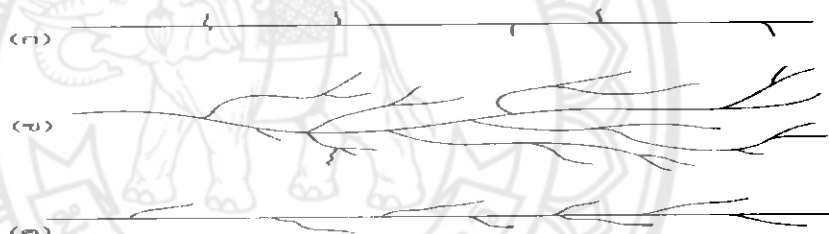
โดยทั่วไปแล้ว พอลิเอทิลีนมีน้ำหนักเบามาก คือ มีความถ่วงจำเพาะ 0.92 เท่ากับน้ำในรูปแห่ง บางสามารถพับงอได้ดี มีความหนานากขึ้นจะคงรูปรับแรงดึงและแรงอัดได้น้อย มีความยืดตัวสูงถึง 5 เท่าตัว ฉีกขาดยาก มีลักษณะคล้ายขี้ผึ้ง ไม่เกะกะติดน้ำ เป็นอนุวนไฟฟ้าได้ดีมาก ทนความร้อนได้ น้อย แต่ทนความเย็นได้ขนาด -100 องศา Fahr. โครงสร้างทางเคมีของพอลิเอทิลีนแสดงดังรูป- ที่ 2.5 และไม่ทำให้คุณสมบัติทางกายภาพเปลี่ยนแปลง ทนกรดและด่างอ่อน แต่จะเกิดปฏิกิริยาอย่าง ช้า ๆ กับสารเร่งการติดไฟ ไม่ทนน้ำมันและไขมัน โดยเฉพาะน้ำมันก๊าด น้ำมันเบนซิน และในขณะที่มี อุณหภูมิสูง แม้ว่าจะไม่ถูกซึมความชื้นแต่ยอมให้ก๊าซผ่านได้ จึงเหมาะสมใช้บรรจุอาหารสด เช่น ผัก ผลไม้และเนื้อได้ดี โดยทั่วไปพอลิเอทิลีน มีลักษณะใสเมื่อเป็นแผ่นบาง จะมีสีเขียวเมื่อความหนาเพิ่มขึ้น สามารถทำเป็นสีต่าง ๆ ได้ตามความต้องการไม่แนะนำให้ใช้ภายนอก



รูปที่ 2.5 โครงสร้างทางเคมีของพอลิเอทิลีน
ที่มา : มาลินี (2543)

2.2.1 โครงสร้างและสมบัติของพอลิเอทิลีน

พอลิเอทิลีนมีโครงสร้างทั้งแบบชนิดความหนาแน่นต่ำ และสูงดังแสดงในรูปที่ 2.6 แบบความหนาแน่นสูง ก) จะมีโครงสร้างที่มีกิ่งก้านสาขาน้อยทำให้มีเล็กสามารถเข้าไปใกล้กันได้มากขึ้น ทำให้ผลึกและความแข็งแรง เพิ่มขึ้นด้วย และในปัจจุบันการผลิตพอลิเอทิลีนได้พัฒนาขึ้นโดยใช้ความตันเพียง 100 – 300 ปอนด์ต่อตารางนิว และอุณหภูมิประมาณ 100 องศาเซลเซียส ในทางตรงข้าม พอลิเอทิลีนชนิดแบบความหนาแน่นต่ำ ข) โครงสร้างจะมีกิ่งก้านสาขามากทำให้ปริมาณของผลึก และทำให้ความหนาแน่นต่ำลงโครงสร้างแบบนี้ยังทำให้ความแข็งแรงต่ำลงอีกด้วยเนื่องจากไปทำให้แรงของการเกิดพันธะระหว่างโมเลกุลดลง ค) พอลิเอทิลีนที่ผลิตได้จะเป็นโครงสร้างเส้นตรงมีกิ่งสั้น ๆ



รูปที่ 2.6 โครงสร้างพอลิเอทิลีนแบบต่างๆ
ก) แบบความหนาแน่นสูง (High - Density)
ข) แบบความหนาแน่นต่ำ (Low - Density)
ค) แบบโครงสร้างเป็นเส้นตรงความหนาแน่นต่ำ (Linear – Low Density)
ที่มา : แม่น (2539)

2.2.2 การใช้งาน

พอลิเอทิลีนมีปริมาณการใช้สูงสุดในพลาสติกประเภทเทอร์โมพลาสติก แม้ว่าราคายังคงต่อปอนด์จะไม่ถูกที่สุด แต่ เพราะมีน้ำหนักเบากว่าจึงสามารถผลิตได้ปริมาณมาก นิยมใช้ทำถุงบรรจุอาหารและเสื้อผ้าตู้เสื้อตู้เสื้อ เด็กเล่น ดอกไม้พลาสติก ภาชนะบรรจุเครื่องใช้ในครัว ถุงน้ำแข็งในตู้เย็น ขวด และภาชนะบรรจุของเหลว เช่นพลาสติกลูมโรงเพาะชำ สายเคเบิล แผ่นกันความชื้นในอาคาร และของใช้ราคาถูกอีกมากมายแสดงดังรูปที่ 2.7



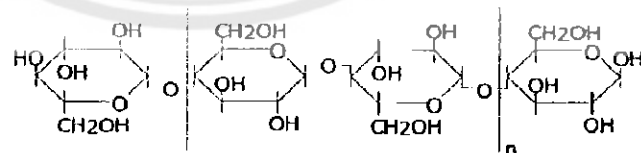
รูปที่ 2.7 ตัวอย่างภาชนะพลาสติกที่ทำจากพอลิเอทิลีนชนิดความหนาแน่นสูง
ที่มา : มาลินี (2543)

2.3 เส้นใยธรรมชาติ

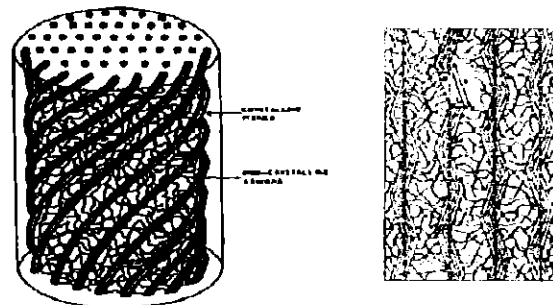
เส้นใยธรรมชาติเป็นใยที่ได้จากส่วนต่างๆ ของพืช เช่น ผ้าယ (Cotton) ป่าน (Flax) กระเจา (Jute) เป็นต้น เส้นใยธรรมชาติมีราคาถูกกว่าเส้นใยสังเคราะห์ จึงนิยมใช้เส้นใยธรรมชาติเป็นสารตัวเติมชนิดเสริมแรงในวัสดุเชิงประกอบ เพื่อปรับปรุงสมบัติต่าง ๆ ของพอลิเมอร์ให้ดีขึ้นและเป็นการลดต้นทุนการผลิต โครงสร้างของเส้นใยธรรมชาติมีองค์ประกอบได้แก่ เซลลูโลส (Cellulose) เยมิ เซลลูโลส (Hemicellulose) ลิกนิน (Lignin) และสารประกอบอื่น ๆ เช่น ส่วนที่คล้ายน้ำได้ และ ไขมัน (Wax) เป็นต้น (เดือนพร, 2549)

2.3.1 เซลลูโลส (Cellulose)

เซลลูโลสเป็นสารประกอบของพอลิแซคคาไรด์ (Polysaccharides) เชิงเส้นตรงที่ประกอบด้วยหน่วยซ้ำ ๆ กันมีสูตรโมเลกุลทั่วไปคือ $(C_6H_{12}O_5)_n$ เป็นโครงสร้างในเนื้อยื่อพืช โดยพบรวมกับลิกนิน เพนโตแซม กัม แทนนิน ไขมัน สารที่ทำให้เกิดสี เป็นต้นเซลลูโลสจะมีหน่วยไม่แลกเปลี่ยน โดยเซลลูโลสจะมีสูตรโครงสร้างทางเคมี แสดงดังรูปที่ 2.8 และลักษณะการจัดเรียงตัวของเส้นใยเซลลูโลส แสดงดังรูปที่ 2.9



รูปที่ 2.8 โครงสร้างทางเคมีของเซลลูโลส
ที่มา : เดือนพร (2549)

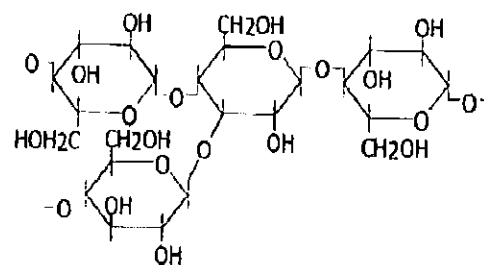


รูปที่ 2.9 ลักษณะการจัดเรียงตัวของเส้นใยเซลลูโลส
ที่มา : เดือนพร (2549)

เซลลูโลสมีหมู่ไอ์ดรอซิลทิง 3 หมู่ สามารถเกิดพันธะไอ์ดรอยเดนได้ แรงดึงดูดระหว่างโมเลกุลของเซลลูโลสจึงมีมาก และโครงสร้างของเซลลูโลสยังจัดเรียงตัวอย่างมีระเบียบ จึงทำให้เซลลูโลสมีความเป็นผลึกสูงมาก อุณหภูมิหลอมตัวจึงสูงมาก มักจะเกิดการสลายตัวก่อนถึงอุณหภูมิหลอมตัว และมีความสามารถในการละลายตัว เซลลูโลสธรรมชาติจะมีน้ำหนักโมเลกุลเฉลี่ยต่างกัน การกระจายน้ำหนักโมเลกุลของเซลลูโลสมีความสำคัญต่อสมบัติทางกายภาพ ส่วนที่มีน้ำหนักโมเลกุลตัวจะส่งผลให้สมบัติทางกายภาพไม่ดี ในทางอุตสาหกรรมจะหาน้ำหนักโมเลกุลโดยประมาณได้โดยการวัดความหนืด ความหนาแน่นของเส้นใยเดี่ยวมีค่าความหนาแน่นไม่แน่นอน ซึ่งความหนาแน่นจะเปลี่ยนตามแหล่งที่มาและการปรับปรุงทางเคมี เซลลูโลส เป็นของแข็งไม่มีสี มีการดูดซับหรือคายไอน้ำหรือของเหลวอื่น ที่อยู่ในบรรยายการอบฯ จนกระทั่งถึงสมดุลปริมาณความชื้นสัมพัทธ์ของบรรยายากacen ปริมาณความชื้นของเซลลูโลสมีผลต่อสมบัติบางอย่าง เช่น ความแข็งแรงดึง (Tensile Strength) การละลายเซลลูโลสไม่ละลายน้ำและตัวทำละลายอินทรีย์ แต่จะละลายในกรดเข้มข้น เช่น 40 เปอร์เซ็นต์ของกรดไอ์ดรอครอริก และ 72 เปอร์เซ็นต์ของกรดซัลฟิวริก เซลลูโลสจะเกิดปฏิกิริยา ไอ์ดรอยไลซิส อย่างรวดเร็วในสารละลายกรดที่อุณหภูมิท้อง และปฏิกิริยาจะหยุดที่อุณหภูมิตัว และสารละลายเกลือเข้มข้นบางชนิด เช่น สารละลายอัลคาไลไซดรอกไฮด์ (Alkali - Hydroxide)

2.3.2 เอมิเซลลูโลส (Hemicellulose)

เอมิเซลลูโลสเป็นพอลิแซ็กการ์ไรด์ชนิดหนึ่ง ซึ่งคล้ายเซลลูโลส แต่ประกอบด้วยน้ำตาลโมเลกุลเดี่ยวหลายชนิด เช่น กลูโคส การแลกโตส แมนโนส ไซโโลส อะราบิโนส รวมทั้งกรอกลูโคโนนิก และการแลกทูโนนิกเอมิเซลลูโลสพบในเนื้อเยื่อของพืชโดยรวมอยู่กับสารอื่นๆ เช่น ลิกนิน เซลลูโลส เป็นโครงสร้างของผังเซลล์ พบรากในแกลบ ซังข้าวโพด สูตรทางเคมีคือ $(C_6H_{12}O_2)_{2n}$ โครงสร้างทางเคมี แสดงดังรูปที่ 2.10



รูปที่ 2.10 โครงสร้างทางเคมีของเยมิเซลลูโลส
ที่มา : เดือนพร (2549)

ความแตกต่างระหว่างเยมิเซลลูโลสกับเซลลูโลส มีดังนี้ คือ

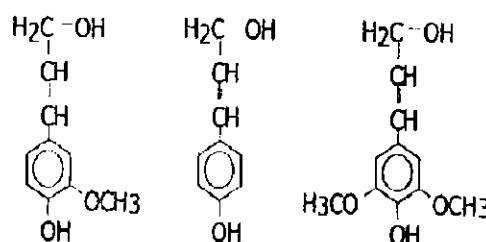
2.3.2.1 เยมิเซลลูโลสจะประกอบด้วยน้ำตาลโมเลกุลเดียวหลายชนิด เช่น กลูโคส (Glucose) กาแลกโตส (Galactose) แมnnโนส (Mannose) ไซโลส (Xylose) อะราบิโนส (Arabinose) รวมอีกห้ากรด กลูโคโรนิก (Glucuronic Acid) และกาแลกทูโรนิก (Galacturonic Acid) แต่เซลลูโลสจะประกอบด้วยน้ำตาลโมเลกุลเดียวเป็น กลูโคสอย่างเดียว

2.3.2.2 เยมิเซลลูโลสจะมีลักษณะสายโซ่มोเลกุลเป็นกิ่ง (Branch Chain) แต่เซลลูโลส จะมีสายโซ่มोเลกุลเป็นเส้นตรง (Linear Chain)

2.3.2.3 องศาของการเกิดโพลิเมอร์ (Degree of Polymerization) ของเซลลูโลสจะมีค่าสูงกว่าเยมิเซลลูโลสประมาณ 10-100 เท่า

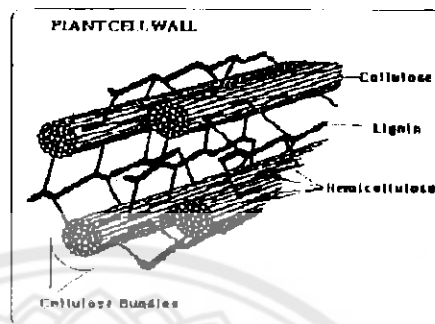
2.3.3 ลิกนิน (Lignin)

ลิกนินเป็นสารประกอบเชิงซ้อน มีน้ำหนักโมเลกุลสูง นักพบรู้ว่ามันมีส่วนร่วมกับเซลลูโลส ลิกนิน เป็นสารที่ประกอบด้วยคาร์บอน (C) ไฮโดรเจน (H) และออกซิเจน (O) รวมกันเป็นหน่วยย่อยหลาย ชนิดซึ่งเป็นสารอะโรมาติก ลิกนินไม่ละลายน้ำ ไม่มีสมบัติทางการยืดหยุ่น เพราะฉะนั้นจึงทำให้พืช ที่มีลิกนินมากมีความแข็งแรงทนทาน เมื่อพิชิตย ลิกนินจะถูกย่อยด้วยเอนไซม์ลิกเนส (Lignase) หรือ ลิกนินเนส (Ligninase) ซึ่งเป็นจุลินทรีย์ที่สำคัญในรา ตัวอย่างโครงสร้างของลิกนินแสดง ดังรูปที่ 2.11



รูปที่ 2.11 โครงสร้างทางเคมีของลิกนิน
ที่มา : เดือนพร (2549)

ไม้แต่ละชนิดจะมีอัตราส่วนระหว่างเซลลูโลส เอมิเซลลูโลส และลิกนิน ไม่เท่ากันขึ้นกับชนิดและอายุของไม้ โดยไม้ที่มีลิกนินมาก จะมีความแข็งแรงสูง และในไม้ชนิดเดียวกัน ไม้ที่มีอายุมากจะมีปริมาณลิกนินมาก เช่นเดียวกัน โดยการจัดเรียงตัวของเซลลูโลส เอมิเซลลูโลส และลิกนินในไม้แสดงดังรูปที่ 2.12



รูปที่ 2.12 การจัดเรียงตัวของเซลลูโลส เอมิเซลลูโลส และลิกนินในไม้
ที่มา : เดือนพฤษภาคม (2549)

2.3.4 พังข้าว (Rice Straw)

ข้าวเป็นพืชที่ปลูกกันทั่วประเทศ มีปริมาณมาก นอกจากใช้บริโภคภายในประเทศแล้ว ยังส่งออกไปจำหน่ายยังต่างประเทศทำรายได้เข้าประเทศมาเป็นอันดับหนึ่งทางด้านสินค้าส่งออก ทางการเกษตร ดังนั้น เห็นได้ว่าในแต่ละปีจะมีสิ่งเหลือใช้จากการปลูกข้าว คือ พังข้าวเป็นจำนวนมาก และทำให้เป็นปัญหาที่เกษตรกรต้องกำจัด โดยการเผาพังข้าวทำให้เกิดมลพิษทางอากาศ และภาวะโลกร้อน ลักษณะของพังข้าวแสดงดังรูปที่ 2.13

ชื่อวิทยาศาสตร์ *Oryza sativa*

ชื่อพกพาศาสตร์ *Triticum aestivum L.*

ชื่อวงศ์ POACEAE

ลักษณะของเส้นใยเป็นเส้นใยชนิดสั้น ความยาวเฉลี่ยประมาณ 0.54 – 0.92 มิลลิเมตร



รูปที่ 2.13 พังข้าว
ที่มา : Wollerderfer (1998)

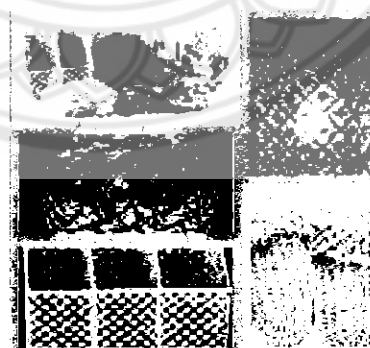
ฟางข้าวอุดมสมบูรณ์ไปด้วยแร่ธาตุต่าง ๆ เช่น แคลเซียม ฟอสฟอรัส และไนโตรเจนยังช่วยปรับโครงสร้างของดินที่เป็นกรดหรือเป็นด่างให้เกิดความสมดุลในตัวมันเอง ซึ่งองค์ประกอบทางเคมีของฟางข้าว แสดงได้ดังตารางที่ 2.2

ตารางที่ 2.2 องค์ประกอบทางเคมีของฟางข้าว

องค์ประกอบทางเคมี	ฟางข้าว (%)
โปรตีนรวม	2.5
เยมิเซลลูโลส	28.0
ลิกนิน	4.5
เซลลูโลส	34.0
เย้า	18.3
ซิลิกา	9.0
ไนโตรเจน	0.75
อื่นๆ	2.95

ที่มา : Wollerderfer (1998)

ฟางข้าวสามารถนำมาسانทำเป็นผลิตภัณฑ์ เครื่องใช้ต่าง ๆ แสดงดังรูปที่ 2.14 เช่น รองเท้าแตะ กระเบ้าถือ ตะกร้า นำไปใช้เป็นอาหารเลี้ยงสัตว์ในกุฏิแล้ง ใช้ทำปุ๋ยหมัก นำไปใช้เพาะเห็ด นำไปใช้คุณหน้าดิน เพราะปูกลูในกุฏิแล้ง ถ้าหากนำฟางไปคุณดินไว้จะทำให้เกิดชั้นหน้าดินอีกทีหนึ่ง ช่วยคุณหญ้าและวัชพืชต่างๆ เมื่อนำฟางข้าวไปคุณหญ้าและวัชพืชหนาพอสมควร โดยไม่ให้อากาศหรือแสงแดดส่องถึงพื้นดินจะทำให้หญ้าและวัชพืชเน่าเป็นปุ๋ยหมักตามธรรมชาติอย่างดี ฟางข้าวช่วยรักษาความชื้นให้แก่ดินเป็นการสร้างดินให้มีชีวิต



รูปที่ 2.14 ผลิตภัณฑ์ทำมาจากฟางข้าว
ที่มา : กลุ่มสตรีหัวยทองกลาง สระบุรี (2555)

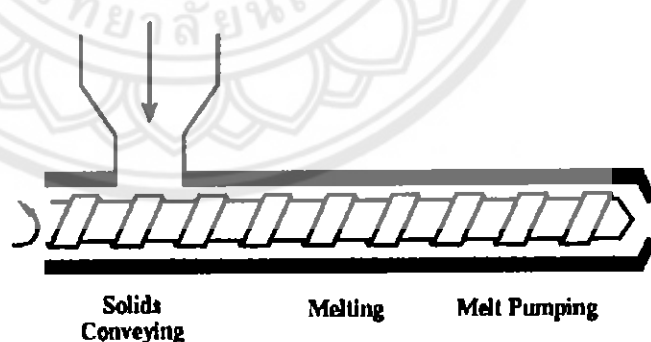
2.4 กระบวนการผลิต

กระบวนการผลิตวัสดุสำเร็จรูปให้ออกมาเป็นแผ่น เป็นแท่ง หรือให้มีรูปร่างต่าง ๆ จากเม็ดพลาสติกนั้น ทำได้หลายวิธี เช่น ใช้กระบวนการอัดฉีดเข้าไปในแบบหรือทำออกมาเป็นท่อ การจะใช้กระบวนการการดันขึ้นอยู่กับชนิดของพลาสติกคือเป็นเทอร์โมพลาสติก หรือเทอร์โมเซต สำหรับเทอร์โมพลาสติกจะใช้วิธีทำให้ร้อนจนอ่อนตัวลงหรือเหลวแล้วจึงอัดฉีดเข้าไปในแบบให้เป็นรูปร่างต่าง ๆ กันก่อนที่จะเย็นตัวลง แต่ถ้าเป็นเทอร์โมเซตจะใช้กระบวนการการทำให้เกิดปฏิกิริยาเคมีเชื่อมโยง เป็นโครงข่ายแล้วเข้าในแบบเป็นรูปร่างตามที่ต้องการก่อนที่กระบวนการพอลิเมอร์化จะสิ้นสุดลง และขั้นตอนสุดท้ายของการเกิดพอลิเมอร์化จะชั้นกึ่ง การให้ความกดดันหรือใช้ตัวเร่งที่อุณหภูมิห้อง (เจริญ, 2542)

2.4.1 กระบวนการผสม

2.4.1.1 เครื่องอัดรีดแบบสกรูเดียว (Single Screw Extruder)

ทำโดยการให้พลาสติกผง (Powder) หรือเม็ด (Pellets) หลอมเป็นเนื้อเดียว แล้วผลักดันโดยการหมุนของสกรูให้พลาสติกหลอมไหลผ่านหัวฉีด (Die) ที่มีรูปร่างตามลักษณะชั้นงานที่ต้องการผลิต พลาสติกหลอมจะแข็งตัวเมื่อออกจากหัวฉีด แสดงดังรูปที่ 2.15 เมื่อจากการหล่อเย็น การอัดรีดพลาสติกที่ในกลุ่มเทอร์โมเซตบางตัว ก็สามารถกระทำได้ แต่พอลิเมอร์ในกลุ่มนี้จะเกิดปฏิกิริยาการเชื่อมโยงเนื่องจากความร้อนในขณะที่ทำการอัดรีด นอกจากนี้เครื่องอัดรีดมีความสำคัญในการแปรรูปพลาสติกแล้ว ยังมีความสำคัญในการใช้เป็นเครื่องผสมเพื่อการผลิตพลาสติก โดยการผสมพลาสติกกับสารเติมแต่ง (Additives) และสารตัวเติม (Fillers) ชนิดต่าง ๆ เช่น ด้วยกัน เพื่อเป็นการเตรียมวัสดุสำหรับใช้ในการแปรรูปโดยเทคนิคต่าง ๆ (เจริญ, 2542)

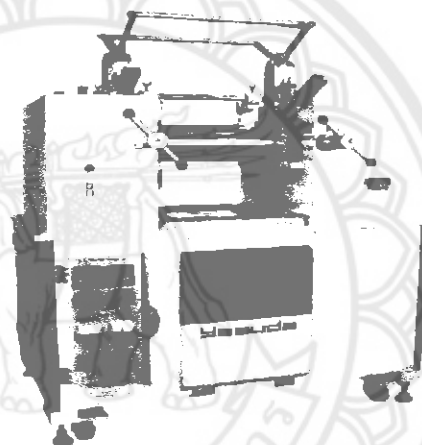


รูปที่ 2.15 เครื่องอัดรีดแบบสกรูเดียว (Single Screw Extruder)

ที่มา : เจริญ (2542)

2.4.1.2 เครื่องผสมแบบสองลูกกลิ้ง (Two-Roll Mill)

เครื่องผสมแบบสองลูกกลิ้ง ใช้ได้กับหั่นการผสมสารเคมีกับยางและพลาสติกในกรณีพลาสติกนิยมใช้ในการเตรียมคอมปาวด์ของ พอลิเอทิลีนชนิดความหนาแน่นสูง ลูกกลิ้งของเครื่องผสมแบบสองลูกกลิ้งทำจากเหล็กหล่อที่มีการเคลือบผิวให้มีความแข็งลึ่น ขนาดของเครื่องผสมชนิดนี้ขึ้นอยู่กับขนาดของลูกกลิ้ง ซึ่งอาจมีความยาวตั้งแต่ 15 เซนติเมตร กรณีเครื่องที่ใช้ในห้องปฏิบัติการจะถึงเครื่องที่มีลูกกลิ้งยาวมากกว่า 2 เมตร ซึ่งเป็นเครื่องที่ใช้ในโรงงานอุตสาหกรรมขนาดเล็กผ่านศูนย์กลางของลูกกลิ้งจะเพิ่มขึ้นตามความยาว ลักษณะของเครื่องผสมแบบสองลูกกลิ้งแสดงดังรูปที่ 2.16 ส่วนประกอบหลักของเครื่องคือ ลูกกลิ้งสองตัวได้มาจากการหักหดให้ความร้อนซึ่งอาจจะเป็นตัวให้ความร้อนไฟฟ้า หรือให้ความร้อนโดยการให้ลม hun เวียนๆ ของน้ำหรือน้ำมันร้อนผ่านภายในลูกกลิ้ง ส่วนอุปกรณ์ประกอบอื่น ๆ เช่น ในเม็ดปำ เป็นต้น

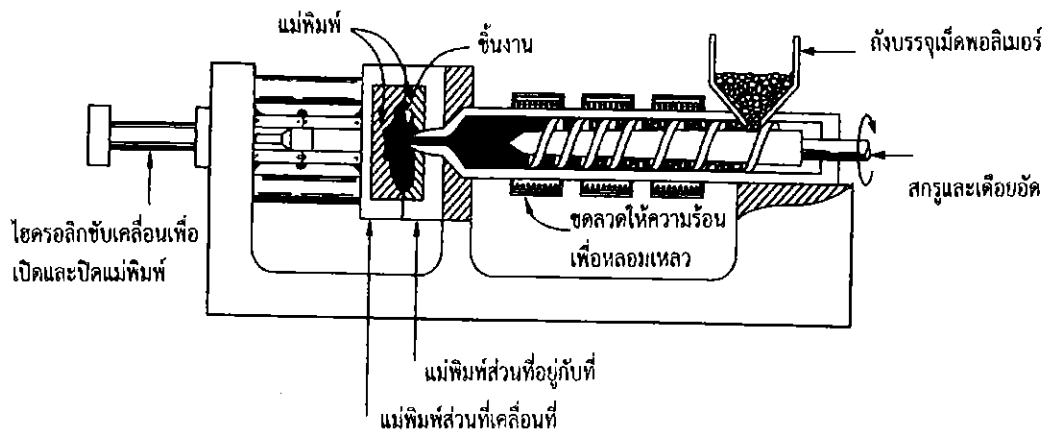


รูปที่ 2.16 เครื่องผสมแบบสองลูกกลิ้ง (Two-Roll Mill)

ที่มา : เจริญ (2542)

2.4.2 กระบวนการขึ้นรูปโดยเทคนิคการฉีดขึ้นรูป (Injection Molding)

ในกระบวนการผลิตด้วยการฉีดพลาสติกเหลวเข้าไปในแบบนั้น แสดงดังรูปที่ 2.17 เม็ดพลาสติกจะถูกส่งลงมาจากถังใส (Hopper) เข้าไปยังระบบอัดฉีดซึ่งมีสกรูหมุนไปรอบ ๆ พร้อมกันนั้น เม็ดพลาสติกจะถูกทำให้ร้อนจนหลอมเหลว เมื่อพลาสติกเหลวที่ปลายสกรูมีมากพอ สกรูจะหยุดหมุน แต่จะทำหน้าที่เป็นตัวอัดฉีดจากช่องออกเข้าสู่แบบ ในช่วงเวลาสั้นและให้ความดันคงที่จนพลาสติกแข็งตัว สกรูจะถอยออกมานะ แบบที่ใช้หล่อ จะมีน้ำเย็นเข้าไปหล่อ เพื่อให้พลาสติกแข็งตัวเร็วขึ้นสุดท้ายแบบจะเปิดออก พลาสติกจะหลุดออกจากแบบด้วยการใช้อากาศหรือสปริงดันออกมานแล้วแบบก็จะประกอบเข้าไปใหม่พร้อมที่จะอัดฉีดต่อไป



รูปที่ 2.17 เครื่องฉีดขึ้นรูป (Injection Molding)

ที่มา : เจริญ (2542)

2.5 วิธีการทดสอบ

2.5.1 การทดสอบแรงดึง (Tensile Test)

การทดสอบแรงดึงของวัสดุจะเพิ่มแรงดึงตามแนวแกนของชิ้นทดสอบมาตรฐานแสดงดังรูปที่ 2.18 ซึ่งเป็นชิ้นทดสอบชนิดดัมเบลล์ ขณะเพิ่มแรงดึงเรามาตรวัดความยืดตัวของชิ้นทดสอบ และในที่สุดชิ้นทดสอบจะขาดจากกัน จำนวนเรานำผลการทดสอบไปคำนวณหาสมบัติเชิงกลของวัสดุชิ้นทดสอบ (เดช, 2548)

ในระหว่างทดสอบแรงดึง จะเพิ่มแรงดึงอย่างช้า ๆ และควบคุมให้ชิ้นทดสอบยืดตัวออกอย่างสม่ำเสมอ ถ้าทราบขนาดของแรงภายนอก ในแต่ละช่วงของการทดสอบ ก็สามารถนำไปคำนวณหาความเค้นได้ ดังสมการที่ 2.1

2.5.1.1 ความแข็งแรงดึง (Tensile Strength : σ)

$$\sigma = \frac{F}{A} \quad (2.1)$$

เมื่อ σ = ความเค้นเนื่องจากการดึงชิ้นงาน (MPa)

F = แรงสูงสุดที่ใช้ในการดึง (N)

A = พื้นที่หน้าตัดของชิ้นงาน (mm^2)

2.5.1.2 ร้อยละการดึงยืด ณ จุดขาด (% Elongation at Break : %EL)

ส่วนความเครียดสามารถคำนวณได้จากความยาวที่เปลี่ยนไปหารด้วยความยาวเดิมของชิ้นทดสอบ ดังสมการที่ 2.2

$$\% EL = \frac{L - L_0}{L_0} \times 100\% \quad (2.2)$$

เมื่อ $\%El = \frac{L - L_0}{L_0} \times 100\%$ (%)
 L = ความยาวของชิ้นงาน ณ จุดที่เกิดการแตกหัก (mm)
 L_0 = ความยาวเริ่มต้นของชิ้นงาน (mm)



รูปที่ 2.18 การทดสอบความแข็งแรงดึง (Tensile Testing)
ที่มา : เดช (2548)

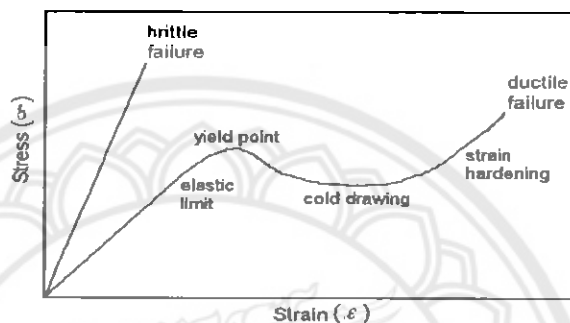
เมื่ออ客แรงดึงวัสดุ จะเริ่มเกิดการเปลี่ยนแปลงแบบอิเลสติก คือ เมื่อเอาแรงออกวัสดุ สามารถกลับคืนสู่สภาพเดิม (Reversible Change) เมื่อถึงผ่านขีดจำกัดความยืดหยุ่น (Elastic Limit) ไปแล้วจะไม่สามารถกลับคืนสู่สภาพเดิมได้อีกเมื่อเอาแรงออก เมื่อพื้นที่หน้าตัดของวัสดุมีการลดอย่างเรื่อย ๆ จนกระทั่งขาดออกจากกัน จะได้ค่าความคื้นดึงสุดท้าย ซึ่งเรียกว่า Fracture Stress

2.5.1.3 มอดูลัสยืดหยุ่น (Modulus of Elasticity : E)

$$E = \frac{\sigma}{e} \quad (2.3)$$

เมื่อ E = มอดูลัสยืดหยุ่น (MPa)
 σ = ความคื้น (MPa)
 e = ความเครียด

การหามอคูลัสจากกราฟความเค้น – ความเครียดแสดงดังรูปที่ 2.19 โดยหาค่ามอคูลัสแบบบีดทุน (E) ดังสมการที่ 2.3 ได้จากการวัดความชัน (Slope) ของเส้นสัมผัสเริ่มแรกซึ่งเป็นส่วนที่ชันที่สุดของเส้นโค้ง Yield Stress เป็นความเค้นที่จุดคราก (Yield Point) ซึ่งจุดครากเป็นจุดแรกบนเส้นโค้งความเค้น – ความเครียดที่เกิดการเพิ่มความเครียด โดยที่ไม่มีการเพิ่มความเค้น เมื่อวัสดุถูกดึงถึงจุดครากแล้วจะไม่สามารถถืนตัวได้อีก เมื่อเอาระยะทำออกไปพื้นที่ภายใต้เส้นโค้งความเค้น – ความเครียดเป็นสิ่งที่บ่งชี้ถึงความเหนียว (Toughness) ของพลาสติก พลาสติกที่มีพื้นที่ใต้เส้นโค้งความเค้น – ความเครียดมากเป็นวัสดุที่มีความเหนียว ส่วนวัสดุที่ประจจะมีพื้นที่ใต้เส้นโค้งน้อย



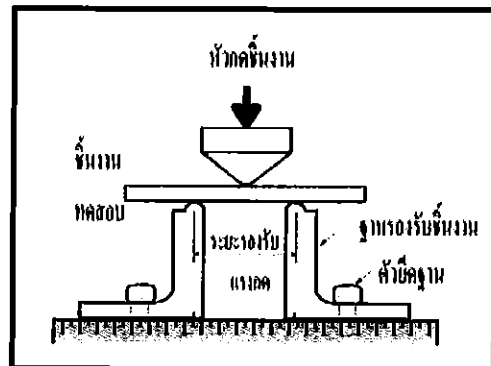
รูปที่ 2.19 กราฟความเค้น - ความเครียด

ที่มา : เดช (2548)

2.5.2 การทดสอบความแข็งแรงโค้งงอ (Flexural Test)

การทดสอบความแข็งแรงโค้งงอ กับมอคูลัสความโค้งงอ เป็นการวัดแรงที่ต้องการเพื่อให้ขึ้นงานเกิดการงอ ข้อมูลที่ได้มักจะนำไปพิจารณาเลือกวัสดุสำหรับใช้เป็นส่วนที่ต้องรับแรงกดโดยไม่เกิดการงอ เช่น ค่ามอคูลัสความโค้งงอ (Flexural Modulus) ใช้ในการบ่งบอกถึงความแข็งของวัสดุเมื่อเกิดการโค้งงอ โดยทั่วไปการทดสอบนี้หมายความว่ารับพลาสติกที่มีลักษณะแข็ง perse แต่ไม่หมายความว่าทดสอบพลาสติกที่มีลักษณะอ่อนหอยสามารถเปลี่ยนแปลงรูปร่างภายใต้แรงดันได้มากเนื่องจากสมการที่ใช้ในการคำนวณของสภาพการต้านนี้ จะถูกต้องในกรณีที่มีการเปลี่ยนแปลงรูปร่างในระดับต่ำ วัสดุแสดงความสัมพันธ์ระหว่างความเค้น และความเครียดแบบเชิงเส้น จะอยู่ภายใต้แรงดันดังนั้นโดยทั่วไปมักไม่ใช้ทดสอบที่เกินระดับความเครียด 5 เบอร์เซ็นต์ (เดช, 2548)

การทดสอบความแข็งแรงโค้งงอแบบ 3 จุด การทดสอบนี้เป็นการให้แรงกระทำที่จุดกึ่งกลางเท่ากัน แสดงดังรูปที่ 2.20 เมฆาสำหรับการทดสอบพลาสติกที่เปลี่ยนแปลงรูปร่างได้ต่ำ



รูปที่ 2.20 การทดสอบ Three Point Bending
ที่มา : (เดช, 2548)

สำหรับการทดสอบความแข็งแรงโค้งของคำนวนได้จากสมการที่ 2.4 และค่ามอดุลล์สความโค้งของคำนวนได้จากสมการที่ 2.5

$$\sigma_f = \frac{1.5FL}{bh^2} \quad (2.4)$$

$$\varepsilon_b = \frac{L^3}{4bh^3} \times \frac{\Delta F}{\Delta d} \quad (2.5)$$

เมื่อ σ_f = ความแข็งแรงโค้ง (MPa)

ε_b = มอดุลล์สความโค้ง (MPa)

L = ระยะห่างของฐานรองรับชิ้นงาน (mm)

F = แรงกดสูงสุดที่ทำให้ชิ้นงานเกิดความโค้ง (N)

h = ความหนาของชิ้นงาน (mm)

b = ความกว้างของชิ้นงาน (mm)

ΔF = ความแตกต่างของความเค้นระหว่างสองตำแหน่งบนเส้นตรง (N)

Δd = ความแตกต่างของความเครียดระหว่างสองตำแหน่งบนเส้นตรง (mm)

2.6 งานวิจัยที่เกี่ยวข้อง

จีรากรณ์ คำศรี (2549) ได้ทำการศึกษาสมบัติต่าง ๆ ของพอลิเมอร์สมรรถห่วงพอลิไวนิลคลอไรด์ และพอลิเอทิลีนชนิดความหนาแน่นต่ำโดยใช้ชี้เลื่อยไม้ยางพาราเป็นสารเสริมแรง สรุปงานวิจัยได้ศึกษาถึงปริมาณชี้เลื่อย 10, 20, 30, 40 และ 50 % โดยน้ำหนักของพอลิเมอร์ พบว่า เมื่อเพิ่มชี้เลื่อยลงในพอลิเมอร์ที่ปริมาณ 10 - 40% ของพอลิเมอร์ทำให้มอตูลัสยึดหยุ่น และมอตูลัสโค้งงอ มีค่าลดลง และเมื่อปริมาณชี้เลื่อยเพิ่ม 50% ของพอลิเมอร์ทำให้สมบัติเชิงกลลดลง และการทดสอบโดยใช้เครื่องอัดรีดชนิดเกลียว-หนอนเดียวตามด้วยเครื่องทดสอบแบบ 2 ลูกกลิ้ง ทำให้สมบัติเชิงกลของพอลิเมอร์มีค่าสูงกว่าการใช้เครื่องอัดรีดชนิดเกลียวหนอนเดียวเพียงขั้นตอนเดียว

ธีรวัฒน์ อุณหโชค และพจน์ยิ่ง ศรธรรมลี (2543) ได้ทำการศึกษาไม้เทียมพอลิเมอร์คอมโพสิตจากพอลิเอทิลีนชนิดความหนาแน่นต่ำ และเส้นใยผักตบชวา สรุปงานวิจัยได้ศึกษาอัตราส่วนระหว่างปริมาณของเส้นใยผักตบชวาและขนาด 35 – 50 เมช และ 50 - 80 เมช และ 80 เมชขึ้นไปของเส้น-ใยผักตบชวาต่อพอลิเอทิลีนชนิดความหนาแน่นต่ำ ผลการทดลองพบว่ามอตูลัสยึดหยุ่นจะเพิ่มขึ้นเมื่อเพิ่มปริมาณเส้นใยผักตบชวาเพิ่มขึ้น ส่วนค่าร้อยละการยึดออก ณ จุดขาดและความแข็งแรงกระแทก มีค่าลดลง และอัตราส่วน 30:70 ระหว่างเส้นใยผักตบชวา กับพอลิเอทิลีนที่ให้สมบัติเชิงกลดีที่สุด และขนาดเส้นใยผักตบชวาที่เหมาะสมที่แสดงสมบัติเชิงกลดีที่สุดเมื่อเปรียบเทียบกับวัสดุเชิงประกอบที่ขนาดต่าง ๆ คือ 50-80 เมช

ศลิษฐา สุริโย (2547) ได้ทำการศึกษาการเตรียมวัสดุเชิงประกอบจากพอลิเอสเทอร์เรซินชนิดไม่อิมตัวและฟางข้าวขนาด 120 เมช ที่ปริมาณ 10, 20, 30, 40 และ 50 เปอร์เซ็นต์โดยน้ำหนักของฟางข้าว จากการทดสอบชิ้นงานตัวอย่างของวัสดุเชิงประกอบพอลิเอสเทอร์เรซินชนิดไม่อิมตัวและฟางข้าวที่ 70 : 30 แสดงสมบัติเชิงกลที่สูงสุดเมื่อเปรียบเทียบกับวัสดุเชิงประกอบจากฟางข้าวในอัตราส่วนอื่น

บทที่ 3

วิธีการดำเนินโครงการ

การดำเนินโครงการกำหนดไว้ 5 ขั้นตอนดังต่อไปนี้

ขั้นตอนที่ 1 ค้นคว้าเอกสารโครงการ ข้อมูลพื้นฐานที่เกี่ยวข้องจากแหล่งต่างๆ เช่น หนังสือ การสืบค้นข้อมูลอินเตอร์เน็ต

ขั้นตอนที่ 2 วางแผนการดำเนินโครงการ กำหนดขั้นตอนการดำเนินงาน ศึกษาวิธีการทดลอง และกระบวนการต่างๆ ที่ใช้ในโครงการ

ขั้นตอนที่ 3 เตรียมวัสดุดิบ และอุปกรณ์ที่ใช้ในโครงการ

ขั้นตอนที่ 4 ดำเนินงานวิจัยโดยการเตรียมเส้นใยพางข้าว เตรียมเม็ดพลาสติก ขึ้นรูปชิ้นงาน ทดสอบสมบัติเชิงกล

ขั้นตอนที่ 5 นำผลที่ได้จากการทดลองมาวิเคราะห์ สรุปผล และเขียนปริญญาในพนธ์

3.1 สารเคมีและวัสดุที่ใช้ในโครงการ

3.1.1 พอลิเอทิลีนชนิดความหนาแน่นสูง (High – Density Polyethylene : HDPE) เกรด H5818J โดยมีสมบัติต่างๆ แสดงไว้ในตารางที่ 3.1

ตารางที่ 3.1 พอลิเอทิลีนชนิดความหนาแน่นสูง เกรด H5818J

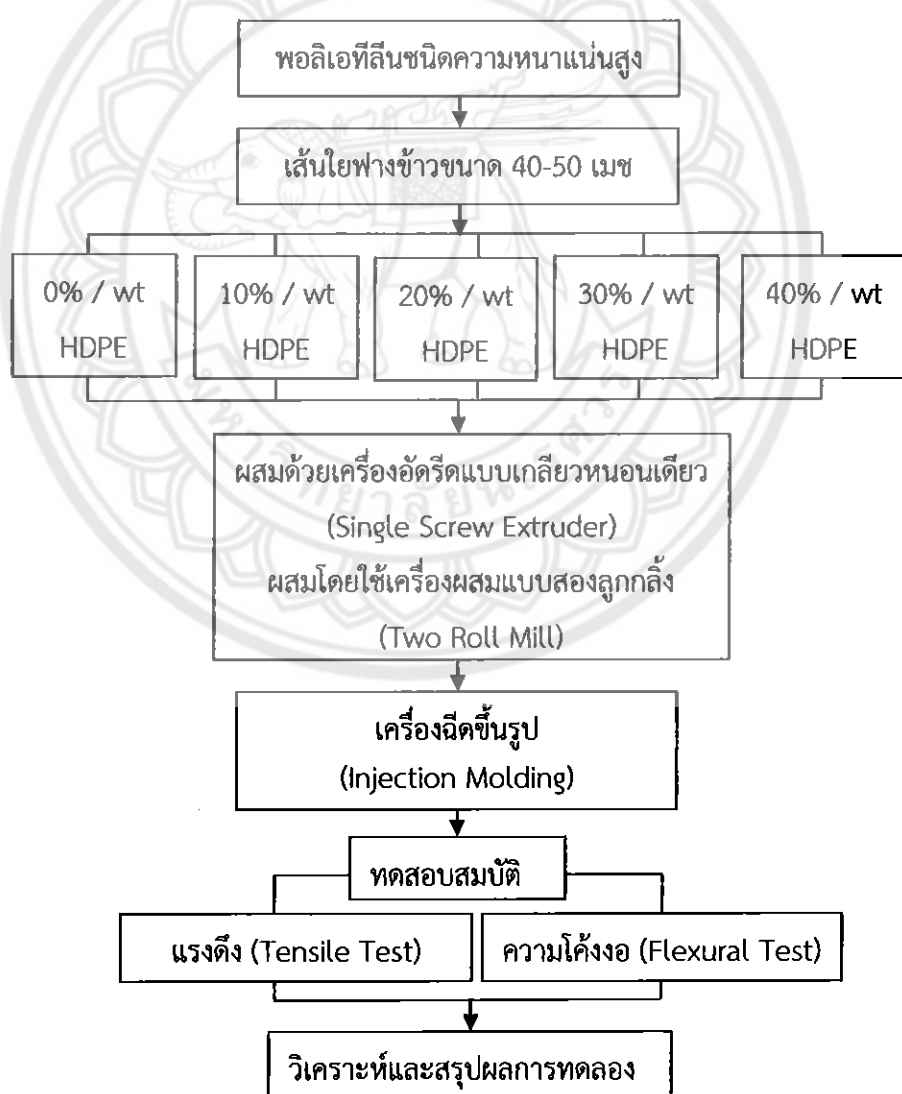
คุณสมบัติ	มาตรฐานการทดสอบ	ค่า	หน่วย
อัตราการไหล	ASTM D 1238 at 190 °C, 2.16 kg	18	g/10 min
ความหนาแน่น	ASTM D 1505	0.962	g/cm ³
ความหนาต่อแรงดึง ณ จุดขาด	ASTM D 638 at Crosshead speed 50 mm/min	27.4	MPa
การยืดตัว ณ จุดขาด	ASTM D 638 at Crosshead speed 50 mm/min	100	%
อุณหภูมิหลอมเหลว	ASTM D 2117	200 - 250	°C

ที่มา : www.matweb.com (2555)

3.1.2 เส้นใยพางข้าวขนาด 40-50 เมช

3.2 เครื่องมือที่ใช้ในงานวิจัย

- 3.2.1 เครื่องอัดรีดแบบเกลียวหนอนเดียว (Single Screw Extruder)
 - 3.2.2 เครื่องผสมแบบสองลูกกลิ้ง (Two Roll Mill)
 - 3.2.3 เครื่องฉีดขึ้นรูป (Injection Molding)
 - 3.2.4 เครื่องทดสอบความแข็งแรงดึง (Universal Tester)
 - 3.2.5 ตู้อบ (Oven)
 - 3.2.6 ตะแกรงมาตรฐานขนาด 40-50 เมช
 - 3.2.7 เครื่องซั่งทศนิยม 3 ตำแหน่ง
 - 3.2.8 เครื่องบดพลาสติก
 - 3.2.9 เวอร์เนียครัลลิปเปอร์
- แผนการดำเนินงานสามารถแสดงได้ดังรูป 3.1



รูปที่ 3.1 แผนภาพการดำเนินงาน

3.3 วิธีการทดลอง

3.3.1 การเตรียมเส้นใยฟางข้าว

3.3.1.1 นำฟางข้าวมาตากให้แห้ง จากนั้นบดย่อยขนาดด้วยเครื่องบดพลาสติกเพื่อย่อยให้มีขนาดที่เล็กลง

3.3.1.2 นำฟางข้าวที่ได้มาคัดแยกขนาดโดยเครื่องร่อนแยกขนาด 40-50 มช

3.3.1.3 นำฟางข้าวที่ได้ขนาดแล้วไปอบท่ออุณหภูมิ 100 องศาเซลเซียส เวลาในการอบที่ 24 ชั่วโมง

3.3.2 การเตรียมวัสดุเชิงประกอบระหว่างพอลิเอทิลีนชนิดความหนาแน่นสูงกับเส้นใยฟางข้าว

3.3.2.1 ขั้นสูตรผสมต่างๆ ดังตารางที่ 3.2

ตารางที่ 3.2 อัตราส่วนระหว่างพอลิเอทิลีนชนิดความหนาแน่นสูงกับเส้นใยฟางข้าว

พอลิเอทิลีนความหนาแน่นสูง	ปริมาณของเส้นใยฟางข้าว (%/wt of HDPE)
100	0
	10
	20
	30
	40

3.3.2.2 ทำการผสมเส้นใยฟางข้าวกับพอลิเอทิลีนชนิดความหนาแน่นสูงอัตราส่วนตามตารางที่ 3.2

3.3.2.3 จากนั้นนำส่วนผสมที่ได้มาเข้าสู่เครื่องอัดรีดแบบเกลียวหนอนเดียว (Single - Screw Extruder) โดยใช้อุณหภูมิตามตารางที่ 1.1 โดยใช้ความเร็วรอบ 60 รอบต่อนาที

3.3.2.4 นำเม็ดพลาสติกที่ได้จากการผสมด้วยเครื่องอัดรีดแบบเกลียวหนอนเดียว (Single - Screw Extruder) ไปผสมด้วยเครื่องผสมแบบ 2 ลูกกลิ้ง (Two-Roll mill) โดยใช้อุณหภูมิ 165 องศาเซลเซียสใช้เวลาในการผสม 10 นาที

3.3.2.5 นำไปขึ้นรูปโดยการฉีดขึ้นรูป (Injection Molding) โดยใช้สภาวะอุณหภูมิดังตารางที่ 1.2 นำชิ้นงานที่ได้ไปทดสอบสมบัติเชิงกลได้แก่ ความแข็งแรงดึง (Tensile Strength) มอดูลัสยืดหยุ่น (Modulus of Elasticity) ร้อยละการดึงแตก ณ จุด ขาด (%Elongation at Break) ความแข็งแรงโค้งงอ (Flexural Strength) และมอดูลัสโค้งงอ (Flexural Modulus)

3.4 วิธีการทดสอบ

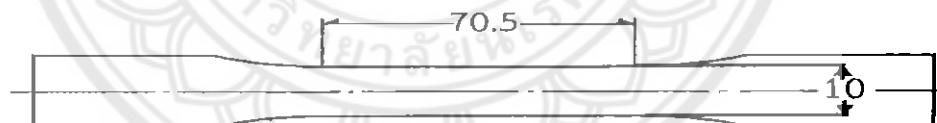
3.4.1 ความแข็งแรงดึง ร้อยละการดึงยืด ณ จุดขาด และมอดูลัสยืดหยุ่น

การทดสอบหาค่าความแข็งแรงดึง (Tensile Strength) เป็นไปตามมาตรฐาน ASTM D638 โดยใช้เครื่องทดสอบแรงดึง (Universal Tester) แสดงดังรูปที่ 3.2 ในการคำนวณชิ้นงานตัวอย่างอยู่ในรูปดั้มเบล์มีความหนา 3.8 มิลลิเมตรแสดงดังรูปที่ 3.3 ใช้ชิ้นงานตัวอย่าง 10 ชิ้นในแต่ละสูตรและใช้สภาวะในการทดสอบดังนี้

- โหลดเซลล์ (Load Cell)	5 กิโลนิวตัน (kN)
- ความเร็วในการดึง (Test Speed)	5 มิลลิเมตร/นาที (mm/min)
- ความยาวゲจ (Gauge Length)	70.5 มิลลิเมตร (mm)



รูปที่ 3.2 เครื่องทดสอบแรงดึง (Universal Tester)



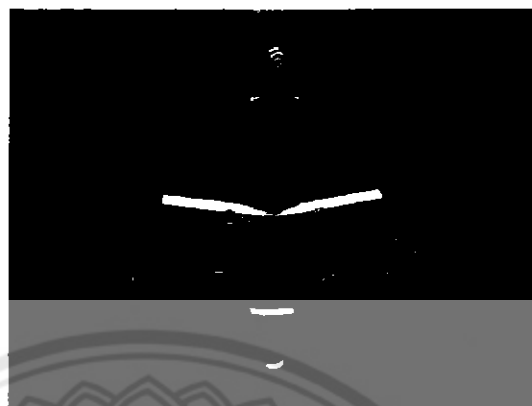
รูปที่ 3.3 ชิ้นงานที่นำมาทดสอบหาค่าความแข็งแรงดึงตามมาตรฐาน ASTM D638 (Type I)

ที่มา : เจริญ (2542)

3.4.2 ความแข็งแรงโค้งงอและมอดูลัสโค้งงอ

การทดสอบหาค่าความแข็งแรงโค้งงอ (Flexural Strength) และมอดูลัสโค้งงอ (Flexural Modulus) เป็นไปตามมาตรฐาน ASTM D790 การทดสอบการทนแรงดัดแบบ 3 จุด (Three Point Bending) แสดงดังรูปที่ 3.4 โดยการทดสอบจะให้แรงกระทำที่จุดกึ่งกลางเท่ากัน โดยการทดสอบจะใช้ทดสอบชิ้นงานจำนวน 10 ชิ้น ในแต่ละสูตร สำหรับการทดสอบสมบัติโค้งงอ นั้น สามารถคำนวณหาค่าความแข็งแรงโค้งงอ (Flexural Strength) และมอดูลัสโค้งงอ (Flexural - Modulus) จากสมการที่ 2.4 และ 2.5 และใช้สภาวะในการทดสอบดังนี้

- โหลดเซลล์ (Load Cell) 5 กิโลนิวตัน (kN)
- ความเร็วในการกด (Compression Speed) 5 มิลลิเมตร/นาที (mm/min)
- ระยะห่างของขารองรับชิ้นงาน (Span Length) 40 มิลลิเมตร (mm)



รูปที่ 3.4 การทดสอบความแข็งแรงโก้งงอ และมอดูลัสโค้งอตามมาตรฐาน ASTM D790

ที่มา : เจริญ (2542)

3.5 การวิเคราะห์และเปรียบเทียบผลการทดลอง

นำข้อมูลที่ได้จากการทดลองมาวิเคราะห์และเปรียบเทียบผลของสมบัติเชิงกลของวัสดุเชิงประกอบจากพอลิเอทิลีนชนิดความหนาแน่นสูงและเส้นใยฟางข้าวที่ปริมาณ 0, 10, 20, 30 และ 40 เปอร์เซ็นต์โดยน้ำหนักของพอลิเอทิลีนชนิดความหนาแน่นสูง

3.6 สรุปผลการทดลองและจัดทำรูปเล่ม

สรุปผลการทดลองของการศึกษาสมบัติเชิงกลของวัสดุเชิงประกอบจากพอลิเอทิลีนชนิดความหนาแน่นสูง และเส้นใยฟางข้าวแล้วนำข้อมูลที่ได้มาจัดทำรูปเล่มเพื่อรายงานผลการทดลอง

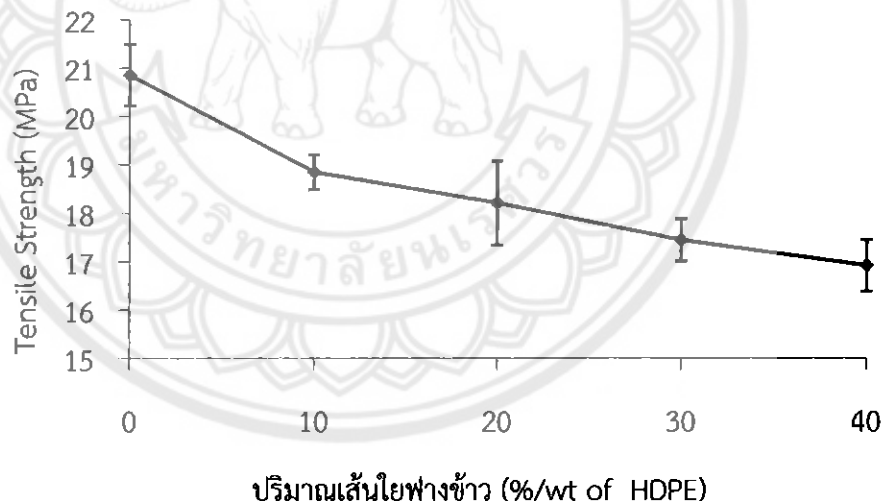
บทที่ 4

ผลการทดลองและวิเคราะห์

โครงการนี้เป็นการศึกษาสมบัติเชิงกลของวัสดุเชิงประดิษฐ์ระหว่างพอลิเอทิลีนชนิดความหนาแน่นสูง และเส้นใยฟางข้าวที่ปริมาณ 0, 10, 20, 30 และ 40 เปอร์เซ็นต์โดยนำน้ำหนักของพอลิเอทิลีนชนิดความหนาแน่นสูง ซึ่งให้ผลการทดลองดังนี้

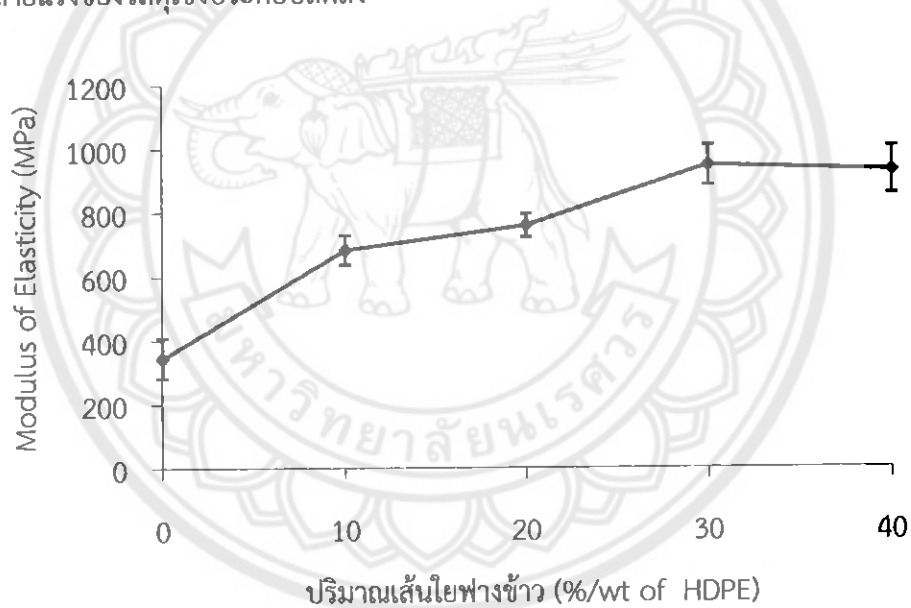
4.1 ผลการศึกษาสมบัติเชิงกลด้านแรงดึงของวัสดุเชิงประดิษฐ์ระหว่างพอลิเอทิลีน - ชนิดความหนาแน่นสูง และเส้นใยฟางข้าวที่ปริมาณต่าง ๆ

ในการศึกษาสมบัติเชิงกลด้านแรงดึง (Tensile Test) ได้ทำการศึกษาความสัมพันธ์ระหว่างสมบัติค่าความแข็งแรงดึงของวัสดุเชิงประดิษฐ์ที่เตรียมได้จากเส้นใยฟางข้าวที่ปริมาณต่าง ๆ โดยนำน้ำหนักของพอลิเอทิลีนชนิดความหนาแน่นสูง โดยใช้สภาวะการขึ้นรูปตามตารางที่ 1.1 และ 1.2 ให้มีผลดังต่อไปนี้



รูปที่ 4.1 ความสัมพันธ์ระหว่างสมบัติความแข็งแรงดึงของวัสดุเชิงประดิษฐ์จากพอลิเอทิลีนชนิดความหนาแน่นสูง และเส้นใยฟางข้าวที่ปริมาณต่าง ๆ

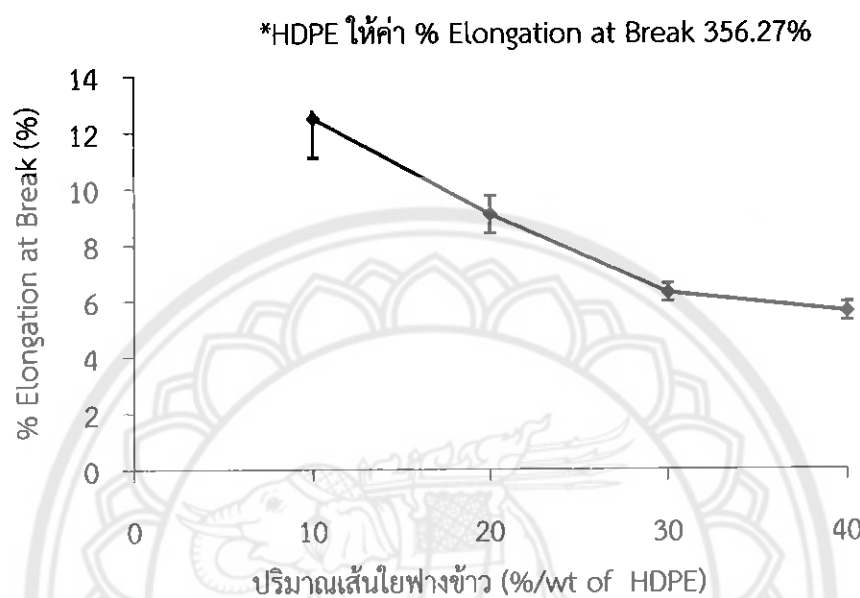
จากรูปที่ 4.1 แสดงความสัมพันธ์ระหว่างความแข็งแรงดึงของวัสดุเชิงประกอบที่เตรียมได้จากพอลิเอทิลีนชนิดความหนาแน่นสูง และเส้นใยพางข้าวที่ปริมาณ 0, 10, 20, 30 และ 40 เปอร์เซ็นต์โดยนำหานักของพอลิเอทิลีนชนิดความหนาแน่นสูง พบว่าที่ 0 เปอร์เซ็นต์ ให้ค่าความแข็งแรงดึงสูง และเมื่อมีการเติมปริมาณของเส้นใยพางข้าวเพิ่มขึ้น ส่งผลให้ความแข็งแรงดึงมีแนวโน้มลดต่ำลง เนื่องจากปริมาณเส้นใยพางข้าวที่เพิ่มขึ้น ส่งผลให้การกระจายตัวของเส้นใยในวัสดุเชิงประกอบไม่เสม่ำเสมอ เนื่องจากเซลลูโลสมีหมู่ไชดรอกซิลถึง 3 หมู่ สามารถเกิดพันธะไฮโดรเจนได้ แรงดึงดูดระหว่างโมเลกุลของเซลลูโลสจึงมีมากประกอบกับการจัดเรียงตัวอย่างเป็นระเบียบของหน่วยซ้ำๆ กันในโมเลกุล ทำให้มีความเป็นผลึกสูง ทำให้เส้นใยมีแนวโน้มที่เกาะตัวรวมกันเป็นกลุ่มก้อน จึงเกิดการกระจายตัวน้อยลง ส่งผลให้สมบัติด้านความแข็งแรงดึงลดลง นอกจากนี้การเติมเส้นใยทำให้เกิดช่องว่างบริเวณรอยต่อระหว่างวัสดุของเนื้อพื้นกับส่วนเสริมแรง เนื่องจากปริมาณเส้นใยที่เพิ่มขึ้นทำให้พอลิเมอร์เนื้อพื้นหลอมเหลวไม่สามารถแทรกตัวเข้าไประหว่างเส้นใยได้ จึงทำให้ความแข็งแรงการยึดเกาะระหว่างวัสดุต่ำ ทำให้ส่งถ่ายแรงของวัสดุเชิงประกอบลดลง



รูปที่ 4.2 ความสัมพันธ์ระหว่างสมบัติมอดูลัสยึดหยุ่นของวัสดุเชิงประกอบจากพอลิเอทิลีนชนิดความหนาแน่นสูง และเส้นใยพางข้าวที่ปริมาณต่าง ๆ

จากรูปที่ 4.2 แสดงความสัมพันธ์ระหว่าง มอดูลัสยึดหยุ่นของวัสดุเชิงประกอบที่เตรียมได้จากพอลิเอทิลีนชนิดความหนาแน่นสูง และปริมาณของเส้นใยพางข้าว พบว่าที่ 0 เปอร์เซ็นต์เส้นใยพางข้าวให้ค่ามอดูลัสต่ำสุด และเมื่อปริมาณเส้นใยเพิ่มขึ้นส่งผลให้ ค่ามอดูลัสยึดหยุ่นมีแนวโน้มเพิ่มขึ้น

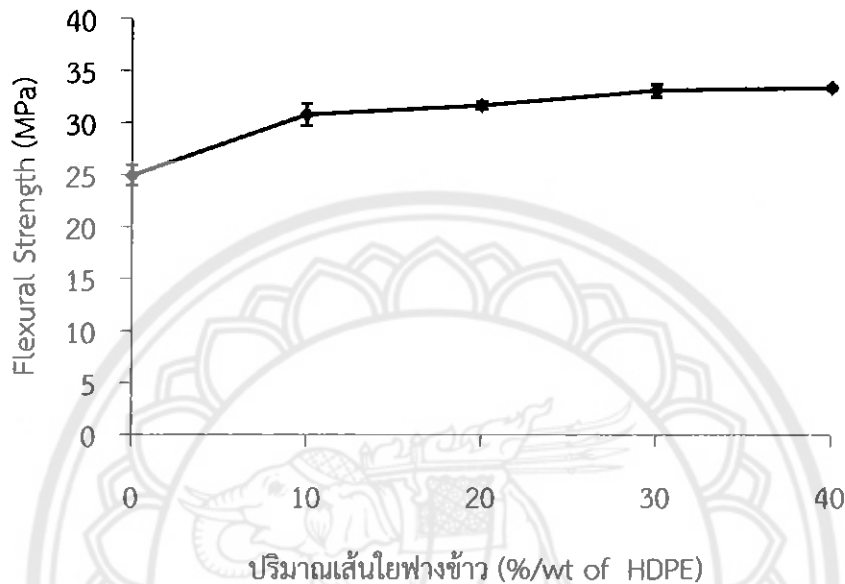
เนื่องจากเส้นใยฟางข้าวมีค่ามอตูลัสสูงกว่าเนื้อพื้นพอลิเมอร์ เมื่อเติมปริมาณเส้นใยฟางข้าวเพิ่มขึ้น ส่งผลให้ฟางข้าวสามารถเข้าไปปั๊ดขวางการเคลื่อนที่ของพอลิเมอร์เนื้อพื้นมากขึ้น ทำให้ความสามารถในการเปลี่ยนแปลงรูปร่างของพอลิเมอร์เนื้อพื้นลดลง ค่ามอตูลัสจึงเพิ่มขึ้น อีกทั้งเส้นใยจะเข้าไปแทรกตัวในเนื้อพื้นพอลิเมอร์ช่วยรับแรงดึงทำให้วัสดุเชิงประกอบเสียรูปได้ยาก



รูปที่ 4.3 ความสัมพันธ์ระหว่างสมบัติร้อยละการดึงยืด ณ จุดขาดของวัสดุเชิงประกอบจากพอลิเอทิลีนชนิดความหนาแน่นสูง และเส้นใยฟางข้าวที่ปริมาณต่าง ๆ

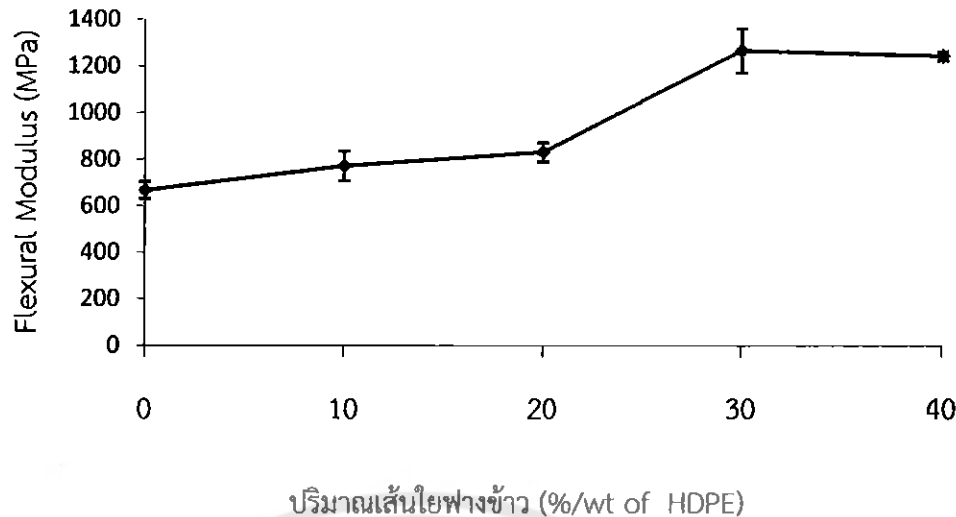
จากรูปที่ 4.3 แสดงความสัมพันธ์ระหว่างร้อยละการดึงยืด ณ จุดขาด ของวัสดุเชิงประกอบ ที่เตรียมจากพอลิเอทิลีนชนิดความหนาแน่นสูง และปริมาณของเส้นใยฟางข้าว พบว่า ที่ 0 เปอร์เซ็นต์ ให้สมบัติร้อยละการดึงยืด ณ จุดขาดสูงสุดที่ 356.27% และเมื่อปริมาณเส้นใยฟางข้าวเพิ่มขึ้น ส่งผลให้สมบัติร้อยละการดึงยืด ณ จุดขาดลดลง เนื่องจากเส้นใยฟางข้าวมีโครงสร้างทางเคมีที่ต่างกัน โครงสร้างพอลิเอทิลีนที่มีสมบัติไม่มีข้าว และโครงสร้างของเส้นใยฟางข้าวมีหมู่ไฮดรอกซิล (-OH) ที่มี สมบัติมีข้าว ดูจากโครงสร้างทางเคมีที่มีเซลลูโลสเป็นองค์ประกอบ จึงไม่สามารถผสานเป็นเนื้อเดียวกัน ได้ ทำให้เกิดรอยต่อระหว่างวัสดุภาคทั้งสอง ตั้งนั้นเมื่อให้แรงดึงแก้ชั้นงานทำให้ความสามารถในการยืด ตัวได้น้อยลง ส่งผลให้ค่าร้อยละการดึง ณ จุดขาดลดลง เมื่อให้แรงดึงกับชั้นงานมีแนวโน้มลดต่ำลง เนื่องจากพื้นที่สัมผ่านแรงจากพอลิเอทิลีนไปยังเส้นใยฟางข้าวมีน้อยเกินไป เพราะการเพิ่มปริมาณเส้น ใยทำให้ร้อยต่อระหว่างวัสดุภาคของพอลิเอทิลีนกับฟางข้าวมีมากขึ้น ส่งผลให้ค่าร้อยละการดึงยืด ณ จุดขาดลดต่ำลง พอลิเอทิลีนมีโครงสร้างเป็นไอโอดีนบนประกอบด้วยส่วนที่ไม่มีข้าว จึงไม่มี อันตรภัยระหว่างกัน ส่งผลให้พอลิเอทิลีนทำหน้าที่เป็นพอลิเมอร์เนื้อพื้นลดลงความยืดหยุ่นลดลง

4.2 ผลการศึกษาสมบัติเชิงกลด้านความโค้งงอของวัสดุเชิงประกลบที่มีพอลิเอทิลีนชนิดความหนาแน่นสูง และเส้นใยฟางข้าวที่ปริมาณต่าง ๆ



รูปที่ 4.4 ความสัมพันธ์ระหว่างสมบัติด้านความแข็งแรงโค้งงอของวัสดุเชิงประกลบที่มีพอลิเอทิลีนชนิดความหนาแน่นสูง และเส้นใยฟางข้าวที่ปริมาณต่าง ๆ

จากรูปที่ 4.4 แสดงความสัมพันธ์ระหว่างสมบัติด้านความแข็งแรงโค้งงอของวัสดุเชิงประกลบที่เตรียมจากพอลิเอทิลีนชนิดความหนาแน่นสูง และปริมาณของเส้นใยฟางข้าว พบว่าที่ 0 เปอร์เซ็นต์ เส้นใยฟางข้าวให้สมบัติด้านความแข็งแรงโค้งงอต่ำสุด และเมื่อปริมาณเส้นใยฟางข้าวเพิ่มขึ้น ส่งผลให้ สมบัติด้านความแข็งแรงโค้งงอสูงขึ้น เนื่องจากที่ 0 เปอร์เซ็นต์ เส้นใยฟางข้าว พอลิเมอร์เนื้อพื้นเป็นพอลิเอทิลีนมีความหนาแน่นสูง ซึ่งเป็นพอลิเมอร์ที่มีความอ่อนนุ่ม (Soft) จึงสามารถหักงอได้ต่ำ แต่เมื่อเติมปริมาณของเส้นใยฟางข้าวเพิ่มขึ้น เมื่อนเป็นการเติมวัสดุที่แข็งลงไป ทำให้สามารถไปขัดขวางการเคลื่อนผ่านกันของสายโซ่ได้มากขึ้น ส่งผลให้มีปริมาณเส้นใยฟางข้าวเพิ่มขึ้น จะทำให้วัสดุเชิงประกลบรับแรงโค้งงอได้สูงขึ้น



รูปที่ 4.5 ความสัมพันธ์ระหว่างสมบัติด้านมอดูลัสโค้งของวัสดุเชิงประกอบจากโพลีเอทิลีน ชนิดความหนาแน่นสูง และเส้นใยฟางข้าวที่ปริมาณต่าง ๆ

จากรูปที่ 4.5 แสดงความสัมพันธ์ระหว่างสมบัติด้านมอดูลัสโค้งของวัสดุเชิงประกอบที่ เตรียมจากโพลีเอทิลีนชนิดความหนาแน่นสูง และปริมาณของเส้นใยฟางข้าว พบร่วมที่ 0 เปอร์เซ็นต์ เส้นใยฟางข้าวให้สมบัติด้านมอดูลัสโค้งอ่อนต่ำสุด และเมื่อปริมาณเส้นใยฟางข้าวเพิ่มขึ้น ส่งผลให้ สมบัติด้านมอดูลัสโค้งอ่อนเพิ่มขึ้น เนื่องจาก เส้นใยฟางข้าวเป็นวัสดุที่มีความแข็งตึง (Stiffness) สูง กว่าเนื้อพื้นโพลีเมอร์จึงส่งผลให้สมบัติด้านมอดูลัสโค้งอ่อนมีแนวโน้มเพิ่มขึ้น

บทที่ 5

สรุปผลงานวิจัยและข้อเสนอแนะ

5.1 สรุปผลงานวิจัย

งานวิจัยนี้เป็นการศึกษาสมบัติเชิงกลด้านแรงดึง (Tensile Test) และความโค้งงอ (Flexural-Test) ของวัสดุเชิงประกอบจากพอลิเอทธิลีนชนิดความหนาแน่นสูง และเส้นใยไฟฟางข้าวที่ปริมาณต่าง ๆ ซึ่งสรุปผลการทดลองได้ดังนี้

จากการศึกษาสมบัติเชิงกลของวัสดุเชิงประกอบระหว่างพอลิเอทธิลีนชนิดความหนาแน่นสูง และเส้นใยไฟฟางข้าวที่ปริมาณ 0, 10, 20, 30 และ 40 เปอร์เซ็นต์โดยน้ำหนักของพอลิเอทธิลีนชนิดความหนาแน่นสูง พบร่วมกับความหนาแน่นของวัสดุเชิงประกอบที่เพิ่มขึ้นส่งผลให้สมบัติต้านมอคูลัสความยืดหยุ่น ความแข็งแรงและค่ามอคูลัสโค้งงอเพิ่มขึ้น นอกจากนี้มีการเพิ่มปริมาณเส้นใยไฟฟางข้าวจะส่งผลให้ความแข็งแรงดึง และร้อยละการดึงยึด ณ จุดขาดมีแนวโน้มลดลง

5.2 ข้อเสนอแนะ

5.2.2 ปรับปรุงสีของวัสดุเชิงประกอบระหว่างพอลิเอทธิลีนชนิดความหนาแน่นสูง และเส้นใยไฟฟางข้าวให้มีความเหมาะสมเพื่อนำไปใช้งานเป็นวัสดุไม้เทียม

5.2.4 ควรมีการปรับปรุงผิวของเส้นใยไฟฟางข้าวโดยการใช้สารช่วยผสาน

5.3 ปัญหาที่พบ และแนวทางแก้ไข

เนื่องจากนำไฟฟางข้าวมาคัดแยกขนาดโดยใช้เครื่องร่อนแยกขนาดซึ่งใช้เส้นใยไฟฟางข้าวในปริมาณมากทำให้ในการร่อนเกิดฝุ่นละอองขึ้น จึงควรร่อนเส้นใยไฟฟางข้าวในพื้นที่ปิดเพื่อป้องกันฝุ่นละอองที่จะเกิดขึ้น

เอกสารอ้างอิง

- กรมป่าไม้. (2550). งานอุตสาหกรรมวัสดุทดแทนไม้. กระทรวงทรัพยากรธรรมชาติและสิ่งแวดล้อม.
สืบค้นเมื่อ 28 มิถุนายน 2555, จาก <http://forprod.forest.go.th>.
- กลุ่มสตรีหัวยงหลาง. (2549). ผลิตภัณฑ์จักسانเชือกมัดฟาง. ไทยคำบล. สืบค้นเมื่อวันที่ 3 กรกฎาคม 2555, จาก www.thaitambon.com/SR/HuayThongLang.htm.
- จีราภรณ์ คำศรี. (2549). สมบัติต่างๆ ของพอลิเมอร์สมรรถะห่วงพอลิไวนิคลอโรต์ และ พอลิเอทิลีนชนิดความหนาแน่นต่ำโดยใช้ขี้เลือยไม้ยางพาราเป็นสารเสริมแรง. วิทยานิพนธ์ วท.บ., ภาควิชาเคมี คณะวิทยาศาสตร์ สถาบันเทคโนโลยีพระจอมเกล้าเจ้าคุณทหารลาดกระบัง, กรุงเทพฯ.
- เจริญ นาคสวรรค์. (2542). กระบวนการแปรรูปพลาสติก. ภาควิชาเทคโนโลยียางและพอลิเมอร์ คณะวิทยาศาสตร์และเทคโนโลยี มหาวิทยาลัยสงขลานครินทร์ วิทยาเขตปัตตานี.
- เดช พุทธเจริญทอง. (2548). ทฤษฎีพลาสติกและ การเปลี่ยนรูปถาวร. ภาควิชาวิศวกรรมเครื่องกล คณะวิศวกรรมศาสตร์ มหาวิทยาลัยเทคโนโลยีพระจอมเกล้าธนบุรี.
- เดือนพร บุญศิริคำชัย. (2549). ศึกษาการสังเคราะห์วัสดุเชิงประยุกต์ค้ายไม้จากพอลิไวนิคลอโรต์กับผงหนังและเยื่อข่านอ้อย. ปริญญาบัณฑิต วศ.ม., สถาบันเทคโนโลยีพระจอมเกล้าเจ้าคุณทหารลาดกระบัง, กรุงเทพฯ.
- ธีรภัณฑ์ อุณหโชค และพจนีย์ ศรีธรรมลี. (2543). การศึกษาไม้เทียมพอลิเมอร์คอมโพสิตจาก พอลิเอทิลีนชนิดความหนาแน่นต่ำ และเส้นใยผักตบชวา. วิทยานิพนธ์ วท.บ., ภาควิชาเคมี คณะวิทยาศาสตร์ สถาบันเทคโนโลยีพระจอมเกล้าเจ้าคุณทหารลาดกระบัง, กรุงเทพฯ.
- มาลินี ชัยศุภกิจสินธ์. (2543). เคมีพอลิเมอร์. โครงการตำรา ภาควิชาเคมีวิทยาศาสตร์ สถาบันเทคโนโลยีพระจอมเกล้าเจ้าคุณทหารลาดกระบัง.
- แม้น อัมรลิท์ และชนิษฐา คำวิลัยศักดิ์. (2539). วัสดุวิศวกรรม (Engineering Materials). ภาควิชาเคมี คณะวิทยาศาสตร์ จุฬาลงกรณ์มหาวิทยาลัย.
- ศลีป์ญา สุริโย. (2547). การเตรียมพอลิเมอร์คอมโพสิตจากพอลิเอสเทอร์เรซิลชนิดไม่อิ่นตัวและ พางข้าว. ปริญญาบัณฑิต วศ.บ., ภาควิชาปิโตรเคมี วิทยาศาสตร์พอลิเมอร์ คณะวิทยาศาสตร์ จุฬาลงกรณ์มหาวิทยาลัย, กรุงเทพฯ.
- อิทธิพล แจ้งชัด. (2544). เอกสารประกอบการสอนวิชาพอลิเมอร์คอมโพสิต. ภาควิชาเคมี คณะวิทยาศาสตร์ สถาบันเทคโนโลยีพระจอมเกล้าเจ้าคุณทหารลาดกระบัง.
- MatWeb. (15 เมษายน 2547). H5818J HDPE Resin. สืบค้นเมื่อ 30 มิถุนายน 2555, จาก <http://www.matweb.com/search>.
- Wollerstorfer. M, and Bader. H, (1998). Influence of natural fibers on the mechanical properties of biodegradable polymers industrial Corps and Production. 8: 105-112.

ภาคผนวก ก

การศึกษาสมบัติเชิงกลด้านแรงดึง (Tensile Test) และความโค้งงอ (Flexural Test) ของวัสดุเชิงประกอบจากพอลิเอทิลีนชนิดความหนาแน่นสูง และเส้นใยฟางข้าวที่ปริมาณต่าง ๆ

ตารางที่ ก.1 สมบัติเชิงกลด้านแรงดึงของวัสดุเชิงประภพว่างพอลิเอทิลีนชนิดความหนาแน่นสูง และเส้นใยฟางข้าวที่ปริมาณ 0 เปอร์เซ็นต์โดยน้ำหนักของพอลิเอทิลีน ชนิดความหนาแน่นสูง

No.	Tensile Strength (MPa)	Modulus of Elasticity) (MPa)	%Elongation at Break (%)
1	20.70	352.16	333.60
2	21.38	406.13	298.70
3	21.53	349.60	349.45
4	19.52	319.44	346.69
5	20.60	351.22	332.90
6	21.16	211.64	567.42
7	21.22	356.06	338.21
8	20.73	415.35	283.17
ค่าเฉลี่ย	20.86	345.20	356.27
ค่าเบี่ยงเบนมาตรฐาน	0.63	62.51	88.40

ตารางที่ ก.2 สมบัติเชิงกลด้านแรงดึงของวัสดุเชิงประภพระหว่างพอลิเอทิลีนชนิดความหนาแน่นสูง และเส้นใยไฟฟ้าข้าวที่ปริมาณ 10 เปอร์เซ็นต์โดยน้ำหนักของพอลิเอทิลีน ชนิดความหนาแน่นสูง

No.	Tensile Strength (MPa)	Modulus of Elasticity) (MPa)	%Elongation at Break (%)
1	18.73	700.82	14.22
2	18.64	694.43	14.00
3	19.51	781.18	10.02
4	18.52	662.27	12.90
5	18.71	671.01	11.64
6	19.14	634.62	11.72
7	19.08	642.30	12.06
8	18.50	674.66	13.33
ค่าเฉลี่ย	18.85	682.66	12.48
ค่าเบี่ยงเบนมาตรฐาน	0.35	45.86	1.40

ตารางที่ ก.3 สมบัติเชิงกลด้านแรงดึงของวัสดุเชิงประภพห่วงพอลิเอทิลีนชนิดความหนาแน่นสูง และเส้นใยไฟเบอร์ที่ปริมาณ 20 เปอร์เซ็นต์โดยน้ำหนักของพอลิเอทิลีน ชนิดความหนาแน่นสูง

No.	Tensile Strength (MPa)	Modulus of Elasticity) (MPa)	%Elongation at Break (%)
1	18.79	752.84	8.66
2	18.65	832.76	8.42
3	18.78	769.21	9.16
4	18.37	772.30	8.58
5	16.23	767.37	10.07
6	17.93	717.84	8.86
7	18.83	726.51	10.13
8	18.16	734.09	8.70
ค่าเฉลี่ย	18.22	759.12	9.07
ค่าเบี่ยงเบนมาตรฐาน	0.86	36.25	0.67

ตารางที่ ก.4 สมบัติเชิงกลด้านแรงดึงของวัสดุเชิงประกอบระหว่างพอลิเอทิลีนชนิดความหนาแน่นสูง และเส้นใยฟางข้าวที่ปริมาณ 30 เปอร์เซ็นต์โดยน้ำหนักของพอลิเอทิลีน ชนิดความหนาแน่นสูง

No.	Tensile Strength (MPa)	Modulus of Elasticity) (MPa)	%Elongation at Break (%)
1	17.33	921.51	6.16
2	17.75	842.83	6.56
3	17.94	1038.86	6.02
4	17.68	927.23	6.42
5	17.07	1006.34	6.28
6	17.75	940.74	6.81
7	17.54	996.70	6.25
8	16.60	914.01	5.77
ค่าเฉลี่ย	17.46	948.53	6.28
ค่าเบี่ยงเบนมาตรฐาน	0.44	62.60	0.32

ตารางที่ ก.5 สมบัติเชิงกลด้านแรงดึงของวัสดุเชิงประกอบระหว่างพอลิเอทิลีนชนิดความหนาแน่นสูง และเส้นใยพังช้าที่ปริมาณ 40 เปอร์เซ็นต์โดยน้ำหนักของพอลิเอทิลีน ชนิดความหนาแน่นสูง

No.	Tensile Strength (MPa)	Modulus of Elasticity) (MPa)	%Elongation at Break (%)
1	16.86	1068.07	6.30
2	16.02	843.44	5.25
3	17.20	893.44	5.66
4	16.86	845.12	5.76
5	17.68	934.81	5.59
6	17.24	950.59	5.53
7	17.20	988.67	5.39
8	16.3	931.45	5.32
ค่าเฉลี่ย	16.92	931.95	5.60
ค่าเบี่ยงเบนมาตรฐาน	0.53	74.60	0.33

ตารางที่ ก.6 สมบัติเชิงกลด้านความโค้งของวัสดุเชิงประดิษฐ์ที่ลีนชนิดความหนาแน่นสูง และเส้นใยพางข้าวที่ปริมาณ 0 เปอร์เซ็นต์โดยน้ำหนักของพอลิเอทิลีนชนิดความหนาแน่นสูง

No.	Flexural Strength (MPa)	Flexural Modulus (MPa)
1	25.31	736.66
2	24.59	653.43
3	24.25	710.01
4	23.23	652.81
5	24.50	643.97
6	25.67	699.77
7	25.56	630.68
8	26.37	644.42
ค่าเฉลี่ย	24.93	667.72
ค่าเบี่ยงเบนมาตรฐาน	0.99	36.74

ตารางที่ ก.7 สมบัติเชิงกลด้านความโค้งของวัสดุเชิงประภพระหว่างพอลิเอทิลีนชนิดความหนาแน่นสูง และเส้นใยไฟฟางข้าวที่ปริมาณ 10 เปอร์เซ็นต์โดยน้ำหนักของพอลิเอทิลีน ชนิดความหนาแน่นสูง

No.	Flexural Strength (MPa)	Flexural Modulus (MPa)
1	31.70	846.06
2	29.95	764.07
3	31.06	731.95
4	32.38	717.18
5	29.96	777.52
6	31.64	888.41
7	29.57	714.41
8	29.90	738.12
ค่าเฉลี่ย	30.77	772.21
ค่าเบี่ยงเบนมาตรฐาน	1.06	63.48

ตารางที่ ก.8 สมบัติเชิงกลด้านความโค้งของวัสดุเชิงประกอบระหว่างพอลิเอทิลีนชนิดความหนาแน่นสูง และเส้นใยไฟฟ้าข้าวที่ปริมาณ 20 เปอร์เซ็นต์โดยน้ำหนักของพอลิเอทิลีน ชนิดความหนาแน่นสูง

No.	Flexural Strength (MPa)	Flexural Modulus (MPa)
1	31.33	802.76
2	32.02	903.48
3	32.20	879.83
4	31.77	845.97
5	31.04	790.12
6	31.75	827.76
7	31.62	802.65
8	31.43	804.79
ค่าเฉลี่ย	31.64	832.17
ค่าเบี่ยงเบนมาตรฐาน	0.38	41.09

ตารางที่ ก.9 สมบัติเชิงกลด้านความโค้งของวัสดุเชิงประ公示ระหว่างพอลิเอทิลีนชนิดความหนาแน่นสูง และเส้นใยฟางข้าวที่ปริมาณ 30 เปอร์เซ็นต์โดยน้ำหนักของพอลิเอทิลีน ชนิดความหนาแน่นสูง

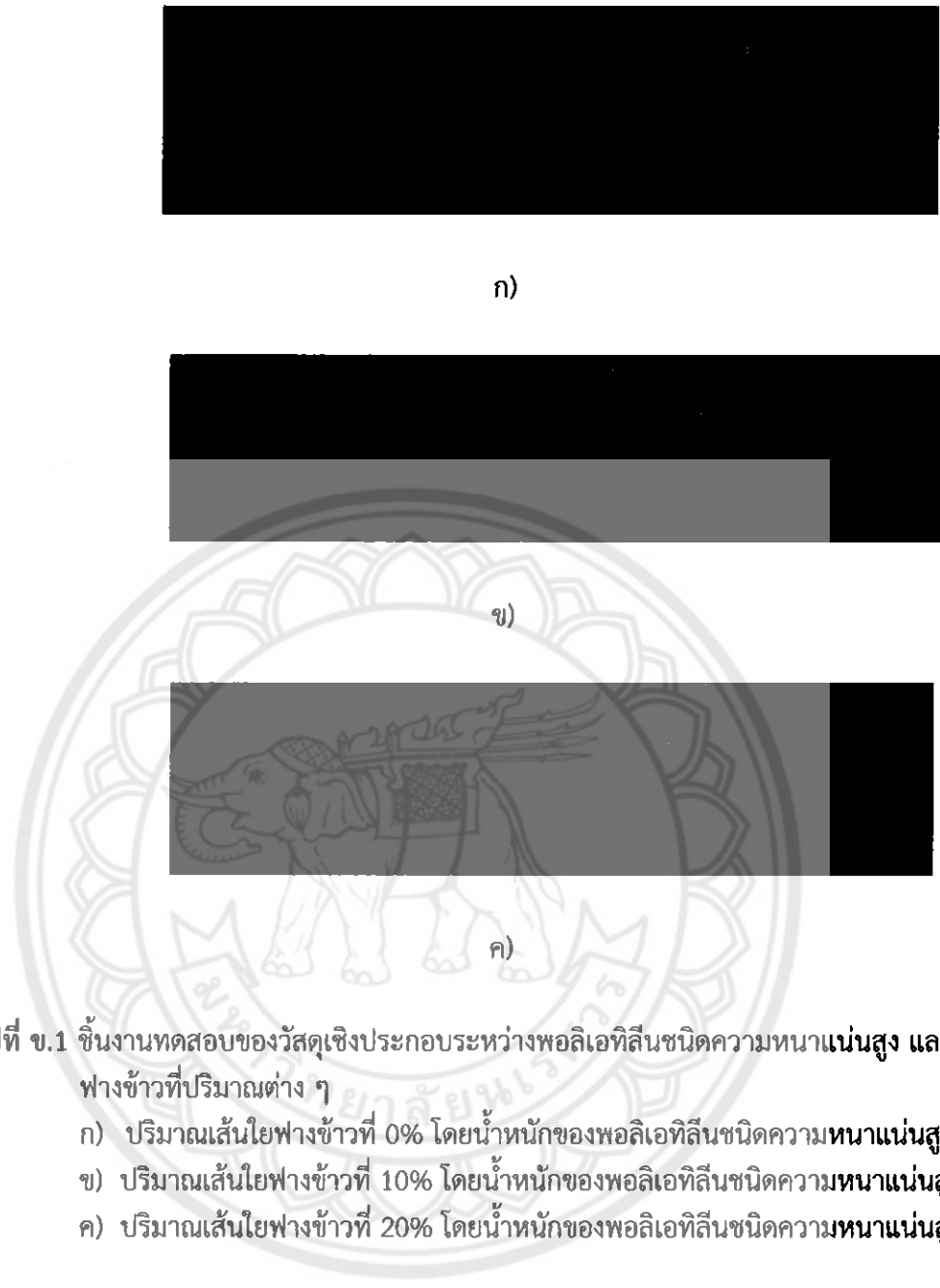
No.	Flexural Strength (MPa)	Flexural Modulus (MPa)
1	32.00	1340.18
2	33.21	1297.42
3	34.58	1323.04
4	33.47	1045.15
5	33.74	1296.07
6	33.31	1314.47
7	33.89	1228.20
8	33.44	1285.33
ค่าเฉลี่ย	33.46	1266.33
ค่าเบี่ยงเบนมาตรฐาน	0.73	95.30

ตารางที่ ก.10 สมบัติเชิงกลด้านความโค้งของวัสดุเชิงประภพระหว่างพอลิเอทิลีนชนิดความหนาแน่นสูง และเส้นใยพังข้าวที่ปริมาณ 40 เปอร์เซ็นต์โดยน้ำหนักของพอลิเอทิลีน ชนิดความหนาแน่นสูง

No.	Flexural Strength (MPa)	Flexural Modulus (MPa)
1	33.44	1244.95
2	33.73	1251.10
3	33.59	1235.01
4	33.29	1242.29
5	33.52	1223.63
6	33.75	1244.90
7	33.42	1284.37
8	33.42	1219.26
ค่าเฉลี่ย	33.50	1243.31
ค่าเบี่ยงเบนมาตรฐาน	0.18	20.02

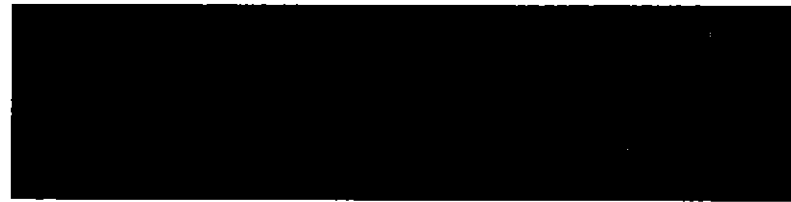
ภาคผนวก ๖

การทดสอบวัสดุเชิงประภพระหว่างพอลิเอทิลีนชนิดความหนาแน่นสูง
และเส้นใยฟางข้าวที่ปริมาณต่าง ๆ



รูปที่ ข.1 ชิ้นงานทดสอบของวัสดุเชิงประภณะว่างพอลิเอทิลีนชนิดความหนาแน่นสูง และเส้นใยฟางข้าวที่ปริมาณต่าง ๆ

- ก) ปริมาณเส้นใยฟางข้าวที่ 0% โดยน้ำหนักของพอลิเอทิลีนชนิดความหนาแน่นสูง
- ข) ปริมาณเส้นใยฟางข้าวที่ 10% โดยน้ำหนักของพอลิเอทิลีนชนิดความหนาแน่นสูง
- ค) ปริมาณเส้นใยฟางข้าวที่ 20% โดยน้ำหนักของพอลิเอทิลีนชนิดความหนาแน่นสูง



(๔)



(๕)

รูปที่ ข.1 (ต่อ) ชิ้นงานทดสอบของวัสดุเชิงประภพระหว่างพอลิเอทิลีนชนิดความหนาแน่นสูง และเส้นใยไฟฟางข้าวที่ปริมาณต่าง ๆ

- ๙) ปริมาณเส้นใยไฟฟางข้าวที่ 30% โดยน้ำหนักของพอลิเอทิลีนชนิดความหนาแน่นสูง
- ๑) ปริมาณเส้นใยไฟฟางข้าวที่ 40% โดยน้ำหนักของพอลิเอทิลีนชนิดความหนาแน่นสูง



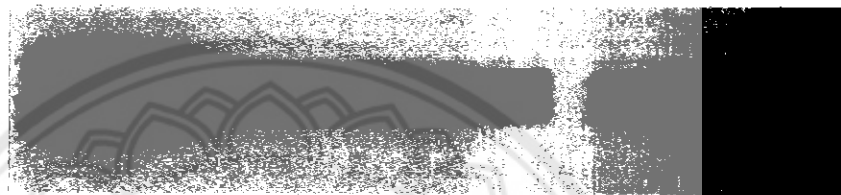
รูปที่ ข.2 ชิ้นงานหลังการทดสอบสมบัติเชิงกลด้านแรงดึงของวัสดุเชิงประภพระหว่างพอลิเอทิลีน-ชนิดความหนาแน่นสูง และเส้นใยไฟฟางข้าวที่ปริมาณ 0% โดยน้ำหนักของพอลิเอทิลีนชนิดความหนาแน่นสูง



รูปที่ ข.3 ชิ้นงานหลังการทดสอบสมบัติเชิงกลด้านแรงดึงของวัสดุเชิงประภพระหว่างพอลิเอทิลีน-ชนิดความหนาแน่นสูง และเส้นใยไฟฟางข้าวที่ปริมาณ 10% โดยน้ำหนักของพอลิเอทิลีน-ชนิดความหนาแน่นสูง



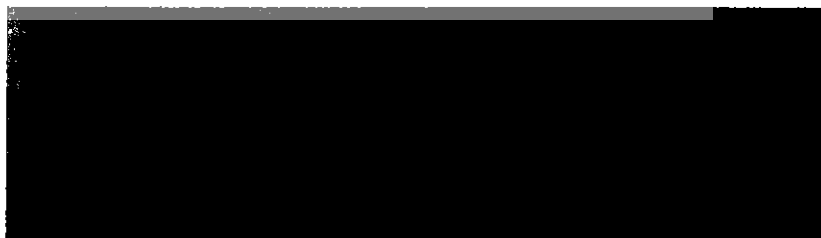
รูปที่ ข.4 ขั้นงานหลังการทดสอบสมบัติเชิงกลด้านแรงดึงของวัสดุเชิงประกอบระหว่างพอลิเอทธิลีน-ชนิดความหนาแน่นสูง และเส้นใยฟางข้าวที่ปริมาณ 20% โดยน้ำหนักของพอลิเอทธิลีน-ชนิดความหนาแน่นสูง



รูปที่ ข.5 ขั้นงานหลังการทดสอบสมบัติเชิงกลด้านแรงดึงของวัสดุเชิงประกอบระหว่างพอลิเอทธิลีน-ชนิดความหนาแน่นสูง และเส้นใยฟางข้าวที่ปริมาณ 30% โดยน้ำหนักของพอลิเอทธิลีน-ชนิดความหนาแน่นสูง



รูปที่ ข.6 ขั้นงานหลังการทดสอบสมบัติเชิงกลด้านความโค้งของวัสดุเชิงประกอบระหว่างพอลิเอทธิลีน-ชนิดความหนาแน่นสูง และเส้นใยฟางข้าวที่ปริมาณ 40% โดยน้ำหนักของพอลิเอทธิลีน-ชนิดความหนาแน่นสูง



รูปที่ ข.7 ขั้นงานหลังการทดสอบสมบัติเชิงกลด้านความโค้งของวัสดุเชิงประกอบระหว่างพอลิเอทธิลีนชนิดความหนาแน่นสูง และเส้นใยฟางข้าวที่ปริมาณ 0% โดยน้ำหนักของพอลิเอทธิลีน-ชนิดความหนาแน่นสูง



รูปที่ ข.8 ชิ้นงานหลังการทดสอบสมบัติเชิงกลด้านความโค้งของวัสดุเชิงประกอบระหว่างพอลิเอทิลีนชนิดความหนาแน่นสูง และเส้นใยฟางข้าวที่ปริมาณ 10% โดยน้ำหนักของพอลิเอทิลีนชนิดความหนาแน่นสูง



รูปที่ ข.9 ชิ้นงานหลังการทดสอบสมบัติเชิงกลด้านความโค้งของวัสดุเชิงประกอบระหว่างพอลิเอทิลีนชนิดความหนาแน่นสูง และเส้นใยฟางข้าวที่ปริมาณ 20% โดยน้ำหนักของพอลิเอทิลีนชนิดความหนาแน่นสูง



รูปที่ ข.10 ชิ้นงานหลังการทดสอบสมบัติเชิงกลด้านความโค้งของวัสดุเชิงประกอบระหว่างพอลิเอทิลีนชนิดความหนาแน่นสูง และเส้นใยฟางข้าวที่ปริมาณ 30% โดยน้ำหนักของพอลิเอทิลีนชนิดความหนาแน่นสูง



รูปที่ ข.11 ชิ้นงานหลังการทดสอบสมบัติเชิงกลด้านความโค้งของวัสดุเชิงประกอบระหว่างพอลิเอทิลีนชนิดความหนาแน่นสูง และเส้นใยฟางข้าวที่ปริมาณ 40% โดยน้ำหนักของพอลิเอทิลีนชนิดความหนาแน่นสูง